ՄԵԽԱՆԻԿԱ

МЕХАНИКА

MECHANICS



Մեխանիկա

XXXV, № 4, 1982

Механика

РАСПРОСТРАНЕНИЕ НЕЛИНЕЙНЫХ КВАЗИМОНОХРОМАТИЧЕСКИХ ВОЛН В ТЕРМОУПРУГОЙ ЛИНЕЙНОВЯЗКОЙ СРЕДЕ

БАГДОЕВ А. Г., ШЕКОЯН А. В.

Распространение нелинейных воли в разных диссипативных и недиссипативных средах изучено в работах [1, 3 5, 7 12, 13]. Вопросы лучевого решения и дифракции рассмотрены в линейной постановке в работах [2, 6].

Поглощение упругой волны приводит к нагреванию среды, что в свою очередь изменяет объем среды (обычно при нагревании среда расширяется). Эти факторы могут приводить к новым эффектам, например, к фиксированию акустической волны.

Целью настоящей статьи является получение нелинейных уравнении для амплитуды и фазы квазимонохроматической волны в диссипативной среде, рассмотрение устойчивости, фокусирование узких пучков.

1. Выпод уравнений для медленно меняющихся амплитуд и фал. Пусть упругая волна распространяется в полубесконечной нелинейной вязкой теплопроводящей изотропной среде в направлении $x_1 > 0$. Ортогональная координатная система выбрана так, чтобы плоскость $x_1 = 0$ совпала с поверхностью среды. Предполагается, что в плоскости $x_1 = 0$ $u_1 = u_2 = 0$, а в ограниченной ее части $u_1 \neq 0$.

Свободная энергия единицы объема, разложенная в ряд по малым степеням тензора деформаций u_{ik} и разности температур $\theta=T_i-T_i$ с учетом первых нелинейных членов имеет вид

$$F = F_0 + \frac{1}{2} u_{ii} + u \left(u_{ik} - \frac{1}{3} u_{ii} u_{ii} \right)^2 + \frac{1}{3} A u_{ik} u_{ii} u_{ki} + B u_{ik}^2 u_{ii} + \frac{c}{3} u_{ik}^2 - u_{ii} + \frac{v_2}{3} \theta \left(u_{ii}^2 - u_{ik}^2 \right) + v_2 \theta^2 u_{ii} - \frac{c^3}{7} + v \theta^2$$
(1.1)

где r и и — модули всестороннего сжатия и сднига. A, B, C, v_1 , v_2 , v_3 , v_4 — лелинейные коэффициенты, c — теплоемкость среды, v — линейный термический коэффициент, T и T_0 — начальная (однородная) и текущая температуры среды, F_0 — свободная энергия недеформированной среды,

$$u_{ik} = \frac{1}{2} \left(\frac{\partial u_i}{\partial x_k} + \frac{\partial u_k}{\partial x_k} + \frac{\partial u_i}{\partial x_k} \frac{\partial u_i}{\partial x_k} \right)$$

Воспользовавшись обычным способом [3, 4, 7], можно получить нелинейные уравнения движения среды и теплопроводности, имеющие соответственно следующий нид:

$$\begin{split} & \frac{\partial^{3} u_{i}}{\partial t^{2}} - \frac{\partial}{\partial x_{k}} \left(\mu \frac{\partial u_{i}}{\partial x_{k}} \right) - \frac{\partial}{\partial x_{l}} \left[(\lambda + \mu / 3) \frac{\partial u_{l}}{\partial x_{l}} \right] + \gamma \frac{\partial^{6}}{\partial x_{i}} - \gamma \frac{\partial^{3} u_{i}}{\partial x_{k}^{2} \partial t} - \\ & - \left(\zeta + \frac{\gamma_{l}}{3} \right) \frac{\partial^{3} u_{l}}{\partial x_{l} \partial x_{l} \partial t} = \left(\mu + \frac{A}{4} \right) \left(\frac{\partial^{2} u_{l}}{\partial x_{k}^{2}} \frac{\partial u_{l}}{\partial x_{i}} + \frac{\partial^{2} u_{l}}{\partial x_{k}^{2}} \frac{\partial u_{i}}{\partial x_{l}} + 2 \frac{\partial^{2} u_{i}}{\partial x_{l} \partial x_{k}} \frac{\partial u_{i}}{\partial x_{k}} \right) + \\ & + \left(\lambda + \frac{\mu}{4} + \frac{A}{4} + B \right) \left(\frac{\partial^{3} u_{l}}{\partial x_{l}^{2} \partial x_{k}} \frac{\partial u_{l}}{\partial x_{k}} + \frac{\partial^{2} u_{k}}{\partial x_{l} \partial x_{k}} \frac{\partial u_{i}}{\partial x_{l}} \right) + \\ & + \left(\lambda - \frac{2}{3} \mu + B \right) \frac{\partial^{3} u_{l}}{\partial x_{k} \partial x_{k}} \frac{\partial u_{l}}{\partial x_{l}} + \left(B + \frac{A}{4} \right) \left(\frac{\partial^{3} u_{k}}{\partial x_{l} \partial x_{k}} \frac{\partial u_{l}}{\partial x_{l}} \right) + \\ & + \frac{\partial^{2} u_{l}}{\partial x_{l} \partial x_{k}} \frac{\partial u_{k}}{\partial x_{l}} \right) + \left(B + 2C \right) \frac{\partial^{2} u_{k}}{\partial x_{l} \partial x_{k}} \frac{\partial u_{l}}{\partial x_{l}} \\ & - \frac{\gamma_{2}}{2} \left(\frac{\partial \theta}{\partial x_{k}} \frac{\partial u_{l}}{\partial x_{k}} + \theta \frac{\partial^{2} u_{l}}{\partial x_{k}^{2}} + \frac{\partial \theta}{\partial x_{k}} \frac{\partial u_{k}}{\partial x_{k}} + \theta \frac{\partial^{2} u_{k}}{\partial x_{l} \partial x_{k}} \right) + \\ & + \left(v_{l} + v_{l} \right) \left(\frac{\partial \theta}{\partial x_{l}} \frac{\partial u_{l}}{\partial x_{l}} + \theta \frac{\partial^{2} u_{l}}{\partial x_{l} \partial x_{l}} \right) + 2v_{2}\theta \frac{\partial \theta}{\partial x_{l}} - \gamma \left(\frac{\partial \theta}{\partial x_{k}} \frac{\partial u_{l}}{\partial x_{l}} + \theta \frac{\partial^{2} u_{l}}{\partial x_{l} \partial x_{k}} \right) \\ & \left[2v_{3}T \frac{\partial u_{l}}{\partial x_{l}} + \left(6v_{4}T - \frac{c}{T} \right) \theta - c \right] \frac{\partial \theta}{\partial x_{l}} - \gamma T \frac{\partial^{3} u_{l}}{\partial x_{l} \partial t} + \\ & + \left[\left(v_{l} + v_{2} - \gamma \right) T \frac{\partial u_{l}}{\partial x_{l}} + \theta \left(2Tv_{2} - \gamma \right) \right] \frac{\partial^{2} u_{l}}{\partial x_{l} \partial t} \\ & - \frac{v_{2}}{4} T \left(\frac{\partial u_{l}}{\partial x_{k}} + \frac{\partial u_{k}}{\partial x_{k}} \right) \left(\frac{\partial^{2} u_{l}}{\partial x_{k} \partial t} + \frac{\partial^{2} u_{k}}{\partial x_{k} \partial t} \right) = - \times \triangle \theta \end{split} \tag{1.3}$$

где u_i — смещение, p плотность среды, q и ζ коэффициенты вий-кости, q — коэффициент теплопроводности.

Упростим систему уравнений (1.2), (1.3), считая, что нижеуказанные величины имеют порядки

$$\frac{u_1}{L}, \quad \mathbf{v}, \quad \zeta, \quad \mathbf{x} \sim \delta^{-}, \quad \frac{u_1}{L}, \quad \frac{u_2}{L} \sim \xi^{5.2}, \quad \frac{\theta}{T} \sim \delta, \quad L \frac{\partial}{\partial \mathbf{x}_2}, \quad \frac{L}{v} \frac{\partial}{\partial t} = \xi^{-1}$$

$$L \frac{\partial}{\partial \mathbf{x}_1}, \quad L \frac{\partial}{\partial \mathbf{x}_2} \sim \xi^{1.2}$$

где L- характерная длина, $\upsilon-$ скорость волиы. Порядки поперечных координат берутся, как в задачах дифракции воли [12], а τ_i , τ_i и берутся, как в теории коротких воли [5], а в слагаемых более высокого порядка, следует отбрасывать диссипативные или нелинейные члены.

Тогда уравнения (1.2) и (1.3) примут следующий вид:

$$\frac{\partial^{3} u_{i}}{\partial t^{2}} - a \frac{\partial^{3} u_{3}}{\partial x_{3}^{2}} - a \triangle_{1} u_{3} - \frac{\partial}{\partial x_{3}} \left(\frac{\partial u_{1}}{\partial x_{1}} + \frac{\partial u_{2}}{\partial x_{2}} \right) + \\
+ 7 \frac{\partial \theta}{\partial x_{3}} - b \frac{\partial^{3} u_{3}}{\partial t \partial x_{3}^{2}} = P \frac{\partial^{2} u_{3}}{\partial x_{3}^{2}} \frac{\partial u_{3}}{\partial x_{3}} + (v_{1} - 1) \frac{\partial \theta}{\partial x_{3}} \frac{\partial u_{3}}{\partial x_{3}} + \\
+ (v_{1} - 7) \theta \frac{\partial^{3} u_{3}}{\partial x_{3}^{2}} + 2v_{3} \theta \frac{\partial \theta}{\partial x_{4}} \tag{1.4}$$

$$\rho \frac{\partial^2 u_1}{\partial t^2} - \mu \frac{\partial^2 u_1}{\partial x_3^2} - d \frac{\partial^2 u_3}{\partial x_1 \partial x_2} + \tau \frac{\partial^2}{\partial x_1} = \bar{\mathbf{u}}$$
 (1.5)

$$\mu \frac{\partial^2 u_0}{\partial t^2} - \mu \frac{\partial^2 u_0}{\partial x_3^2} - a \frac{\partial^2 u_1}{\partial x_2 \partial x_3} + \gamma \frac{\partial \theta}{\partial x_2} = 0$$
 (1.6)

$$\begin{vmatrix} 2v_3 T \frac{\partial u_3}{\partial x_3} + \left(6v_4 T - \frac{\sigma}{T}\right)\theta - c \end{vmatrix} \frac{\partial \theta}{\partial t} - \gamma T \frac{\partial}{\partial t} \left(\frac{\partial u_1}{\partial x_1} + \frac{\partial u_2}{\partial x_2} + \frac{\partial u_3}{\partial x_3}\right) + \\ + \begin{vmatrix} (v_1 - \gamma) T \frac{\partial u_3}{\partial x_3} + \theta (2Tv_3 - \gamma) \end{vmatrix} \frac{\partial^2 u_2}{\partial x_3 \partial t} = -\gamma \frac{\partial^2 \theta}{\partial x_3^2}$$
(1.7)

где a = b + 4p/3, d = b + p/3, $b = \zeta + 4p/3$, P = 4p + 2A + 6B + 3b + 2C, $\triangle = \sigma^2/\sigma x_1 + \sigma^2/\sigma x_2^2$. Вначале для простоты предположим, что среда однородная. В уравнениях (1.4) и (1.7) пренебрежены члены, имеющие порядок выше σ , а в (1.5) и (1.6) — выше $\sigma^{(1)}$.

Решение системы уравнений (1.4)—(1.6) ищем и виде [8]

$$(u_{i}, \theta) = \frac{1}{2} \left\{ \left[u_{0i}(x_{1}, x_{2}, x_{3}), \theta_{0}(x_{1}, x_{2}, x_{3}) \right] \exp \left[i \left(\omega_{1}t - kx_{3} \right) \right] + \left[u_{0i}(x_{1}, x_{2}, x_{3}), \theta_{0}(x_{1}, x_{2}, x_{2}) \right] \exp \left[2i \left(\omega_{1}t - kx_{3} \right) \right] + \left[u_{0i}(x_{1}, x_{2}, x_{3}), \theta_{0}(x_{1}, x_{2}, x_{3}) \right] + \kappa. \text{ c.} \right\}$$

$$(1.8)$$

где u_{ω_1} θ_0 — амплитуды первой гармоники, величины с одним штрихом — амплитуды второй гармоники, а величины с двуми штрихами — свободные члены, обусловленные возникающими течениями веледствие упругой волны, ω_1 — комплексная частота ω_1 = ω + $i\alpha$, а k — волновое число. Все амплитуды — медленно меняющиеся.

Хотя нелинейность в уравнениях (1.4)—(1.7) — квадратичная, однако, наличие вязкости и теплопроводности дает возможность искать решение этой системы в виде (1.8).

Подставляя (1.8) в систему (1.4)—(1.7) и приравнивая нулю коэффициенты у экспонент, получим новую систему для амплитуд. Упростим эту систему, учитывая порядки следующих величин:

$$k_1 = -6$$
, u_{03} , u_{03} , $\theta_0 = 6^2$, u_{01} , $u_{02} = 6^{12}$, u_{03} , u_{03} , u_{03} , $u_{04} = 6^3$

Уравнения для амплитуд после упрощений примут следующий вид:

$$-2ik(-\alpha - iw_1b)\frac{\partial u_{03}}{\partial x} - \mu = u_{03} + ikd\left(\frac{\partial u_{01}}{\partial x_1} + \frac{\partial u_{02}}{\partial x_2}\right) + \gamma \frac{\partial \theta_0}{\partial x_3} =$$

$$= \left[-ik^3 P u_{03} u_{03}^* + \frac{k^2(v_1 - \gamma)}{2}b'u_{03}^* - k^2(v_1 - \gamma)\theta_0^* u_{03}^* - ikv_3\theta_0^*\theta_0^*\right] \quad (1.9)$$

$$4\left(-\omega_{1}^{2}p+ak^{2}+2ik^{2}\omega_{1}b\right)u_{03}-2ik^{2}\theta_{0}=--k^{2}Pu_{03}^{2}-$$

$$-k^{2}(v_{1}-\gamma)\theta_{0}u_{03}-ikv_{1}$$
(1.10)

$$ic^{\alpha_1} \cdot \theta_0 - k \gamma T \omega_1 u_{\alpha \beta} = k^2 z \theta_0'$$
 (1.11)

$$v_3 T k \omega_1 u_{03} \theta_0 + \frac{i e_1}{2} \left(6 v_4 T - \frac{c}{T} \right) \theta_0 - 2 i k \omega_1 \theta_0 +$$

$$+\frac{\omega_1 k}{2} \left[-ikT(\nu_1 - \gamma) u_{03}^2 + (2T\nu_3 - \gamma) u_{03} \eta_0 \right] = 0$$
 (1.12)

$$u_{01} = \frac{1}{k^2 \mu - \omega_1^2 \rho} \left(ikd \frac{\partial u_{01}}{\partial x_1} + \tau \frac{\partial \theta_0}{\partial x_1} \right)$$
 (1.13)

$$u_{02} = \frac{1}{k^2 \mu - \omega_1^2 \rho} \left(ikd \frac{\partial u_{00}}{\partial x_2} + \gamma \frac{\partial u_{00}}{\partial x_2} \right) \tag{1.14}$$

где $\partial u_{00}/\partial x_1$, $\partial \theta_0/\partial x_1$ имеют порядки u_{00} и θ_0 .

В уравнениях (1.9)—(1.14) выражения, содержащие свободные члены, оказались малыми, поэтому они были отброшены. В используемом приближении они не влияют на устойчивость и фокусирование или дефокусирование упругих воли. Уравнения для свободных членов и для комплексно сопряженных амплитуд не выписаны, так как в дальнейшем они не повадобятся.

Последовательно исключая все амплитуды, причем в нелинейных члепах θ_0 и θ' исключаются посредством уравнения (1.11), пренебрежением
правых частей для амплитуды u_{u_1} получим следующее уравнение:

$$(A_1 + iA_2) \triangle u_0 - 2ik \frac{\partial u_{03}}{\partial x_1} = (C_1 + C_2) u_{03} |u_{03}|^2$$
 (1.15)

Если в уравнении (1.15) полагать $A_1 = 1$, $A_2 = C_2 = 0$, то оно совнадает с уравнением пелинейной оптики [11].

При выполе уравнений (1.15) было приравнено нулю выражение $u_{\rm ext}$, которое дает следующее дисперсионное уравнение:

$$w_{ij}^{2} - ik = -\frac{ik^{2}\omega_{0} \cdot 2^{T}}{c(k^{2}k + i\omega_{1})} - ak^{2} = 0$$
 (1.16)

Уравнение (1.16) решаем относительно ω_i методом последовательного приближения, считая $\omega_i = \omega + \omega'$. В качестве нулевого приближения

берем решение, когда $\chi = \varkappa/c = b = 0$. Тогда для ω и α , сохраняя только первые порядки χ и b, получим:

$$\omega^{2} = k^{2} \frac{a + \gamma^{2} T/c}{\rho} = k^{2} v^{2}, \quad \omega' = i\alpha, \quad \alpha = \frac{\omega^{2} b + k^{2} \chi \gamma^{2} T/c}{2(a + \gamma^{2} T/c)} \quad (1.17)$$

Сохраняя только первые порядки χ , b для A_1 , A_2 , C_1 и C_4 , получим следующие пыражения:

$$A_1 = \frac{a \cdot \omega \left(d + \gamma^2 T/c\right) + k^2 d^{\gamma - 2} T/c}{\omega \left(d + \gamma^2 T/c\right) \left(a + \gamma^2 T/2c\right)}$$
(1.18)

$$A_{z} = -\frac{(\alpha + \gamma^{2} T/2c)^{-1}}{(\alpha + \gamma^{2} T/c)} \left| \frac{\omega d\rho \left(\omega^{2}b + k^{2} \chi \gamma^{2} T/c\right)}{k^{2} (d + \gamma^{3} T/c)} + \frac{\alpha}{2\omega} \left(2\omega^{2}b + k^{2} \chi \gamma^{2} T/c\right) \right|$$

$$+ \frac{\alpha}{2\omega} \left(2\omega^{2}b + k^{2} \chi \gamma^{2} T/c\right)$$
(1.19)

$$C_1 = \frac{k^4 T \gamma c^{-2at}}{4c^2 (a + \gamma^2 T/2c)} \left(\frac{v_1 - \gamma}{2} - \frac{v_3 \gamma T}{c} \right) \left(4v_3 T - \frac{6\gamma T^2 v_4}{c} - \frac{cv_1}{\tau} + c \right) (1.20)$$

$$C_2 = - k^4 \omega e^{-2\alpha t} \left[P + \frac{2 T \gamma}{c} \left(\mathbf{v_1} - \gamma - \frac{\mathbf{v_3} \gamma T}{c} \right) \right] \left[8 \left(\omega^2 b + \frac{k^2 \lambda \dot{\gamma}^2 T}{c} \right) \right]^{-1} (\alpha + 1) \left[8 \left(\omega^2 b + \frac{k^2 \lambda \dot{\gamma}^2 T}{c} \right) \right]^{-1} (\alpha + 1) \left[8 \left(\omega^2 b + \frac{k^2 \lambda \dot{\gamma}^2 T}{c} \right) \right]^{-1} (\alpha + 1) \left[8 \left(\omega^2 b + \frac{k^2 \lambda \dot{\gamma}^2 T}{c} \right) \right]^{-1} (\alpha + 1) \left[8 \left(\omega^2 b + \frac{k^2 \lambda \dot{\gamma}^2 T}{c} \right) \right]^{-1} (\alpha + 1) \left[8 \left(\omega^2 b + \frac{k^2 \lambda \dot{\gamma}^2 T}{c} \right) \right]^{-1} (\alpha + 1) \left[8 \left(\omega^2 b + \frac{k^2 \lambda \dot{\gamma}^2 T}{c} \right) \right]^{-1} (\alpha + 1) \left[8 \left(\omega^2 b + \frac{k^2 \lambda \dot{\gamma}^2 T}{c} \right) \right]^{-1} (\alpha + 1) \left[8 \left(\omega^2 b + \frac{k^2 \lambda \dot{\gamma}^2 T}{c} \right) \right]^{-1} (\alpha + 1) \left[8 \left(\omega^2 b + \frac{k^2 \lambda \dot{\gamma}^2 T}{c} \right) \right]^{-1} (\alpha + 1) \left[8 \left(\omega^2 b + \frac{k^2 \lambda \dot{\gamma}^2 T}{c} \right) \right]^{-1} (\alpha + 1) \left[8 \left(\omega^2 b + \frac{k^2 \lambda \dot{\gamma}^2 T}{c} \right) \right]^{-1} (\alpha + 1) \left[8 \left(\omega^2 b + \frac{k^2 \lambda \dot{\gamma}^2 T}{c} \right) \right]^{-1} (\alpha + 1) \left[8 \left(\omega^2 b + \frac{k^2 \lambda \dot{\gamma}^2 T}{c} \right) \right]^{-1} (\alpha + 1) \left[8 \left(\omega^2 b + \frac{k^2 \lambda \dot{\gamma}^2 T}{c} \right) \right]^{-1} (\alpha + 1) \left[8 \left(\omega^2 b + \frac{k^2 \lambda \dot{\gamma}^2 T}{c} \right) \right]^{-1} (\alpha + 1) \left[8 \left(\omega^2 b + \frac{k^2 \lambda \dot{\gamma}^2 T}{c} \right) \right]^{-1} (\alpha + 1) \left[8 \left(\omega^2 b + \frac{k^2 \lambda \dot{\gamma}^2 T}{c} \right) \right]^{-1} (\alpha + 1) \left[8 \left(\omega^2 b + \frac{k^2 \lambda \dot{\gamma}^2 T}{c} \right) \right]^{-1} (\alpha + 1) \left[8 \left(\omega^2 b + \frac{k^2 \lambda \dot{\gamma}^2 T}{c} \right) \right]^{-1} (\alpha + 1) \left[8 \left(\omega^2 b + \frac{k^2 \lambda \dot{\gamma}^2 T}{c} \right) \right]^{-1} (\alpha + 1) \left[8 \left(\omega^2 b + \frac{k^2 \lambda \dot{\gamma}^2 T}{c} \right) \right]^{-1} (\alpha + 1) \left[8 \left(\omega^2 b + \frac{k^2 \lambda \dot{\gamma}^2 T}{c} \right) \right]^{-1} (\alpha + 1) \left[8 \left(\omega^2 b + \frac{k^2 \lambda \dot{\gamma}^2 T}{c} \right) \right]^{-1} (\alpha + 1) \left[8 \left(\omega^2 b + \frac{k^2 \lambda \dot{\gamma}^2 T}{c} \right) \right]^{-1} (\alpha + 1) \left[8 \left(\omega^2 b + \frac{k^2 \lambda \dot{\gamma}^2 T}{c} \right) \right]^{-1} (\alpha + 1) \left[8 \left(\omega^2 b + \frac{k^2 \lambda \dot{\gamma}^2 T}{c} \right) \right]^{-1} (\alpha + 1) \left[8 \left(\omega^2 b + \frac{k^2 \lambda \dot{\gamma}^2 T}{c} \right) \right]^{-1} (\alpha + 1) \left[8 \left(\omega^2 b + \frac{k^2 \lambda \dot{\gamma}^2 T}{c} \right) \right]^{-1} (\alpha + 1) \left[8 \left(\omega^2 b + \frac{k^2 \lambda \dot{\gamma}^2 T}{c} \right) \right]^{-1} (\alpha + 1) \left[8 \left(\omega^2 b + \frac{k^2 \lambda \dot{\gamma}^2 T}{c} \right) \right]^{-1} (\alpha + 1) \left[8 \left(\omega^2 b + \frac{k^2 \lambda \dot{\gamma}^2 T}{c} \right) \right]^{-1} (\alpha + 1) \left[8 \left(\omega^2 b + \frac{k^2 \lambda \dot{\gamma}^2 T}{c} \right]^{-1} (\alpha + 1) \left[8 \left(\omega^2 b + \frac{k^2 \lambda \dot{\gamma}^2 T}{c} \right) \right]^{-1} (\alpha + 1) \left[8 \left(\omega^2 b + \frac{k^2 \lambda \dot{\gamma}^2 T}{c} \right) \right]^{-1} (\alpha + 1) \left[8$$

$$+ \tau^{2} T/2c)^{-1} \left[\frac{P}{2} + \frac{3\tau T}{c^{2}} \left| \frac{c}{2} \left(v_{1} - \tau \right) - \tau T \left(v_{2} - \frac{\tau T v_{4}}{c} \right) \right| \right]$$
 (1.21)

Для дальнейших исследований важен знак A_{ij} , A_{ij} , C_{ij} . Так как мало известно о коэффициентах v_{ij} , v_{ij} , сказать определению о энаке C_{ij} и C_{ij} трудно. Поэтому, для сравнения отдельно вычислены C_{ij} и C_{ij} когда в исходных уравнениях пренебрежено всеми термоупругими и термическими нелинейностями. Тогда $C_{ij} = 0$, а $C_{ij} < 0$. В твердых телах $G_{ij} = \gamma T^{ij} c$ обычно мал [6], поэтому для $G_{ij} = 0$ отдельно сделаны выкладки, причем в выражении (1.8) для $G_{ij} = 0$ оставлены лишь свободные члены. Для $G_{ij} = 0$ и $G_{ij} = 0$ проделаны вычисления, когда правые части уравнения (1.12) и (1.11) не нули, тогда $C_{ij} > 0$ и имеет вид

$$C_1 = \frac{k^4 P^2 e^{-2at}}{16 \left(a + \gamma^2 T/2c\right)^2}$$

в противоположном случае $C_1=0$. Выражение для C_2 легко получить из (1.21) подстановкой $\gamma=v_1=v_1=v_2=0$. Когда G=0, температура не влияет на поведение упругой волны.

2. Устоичивость. Решение уравнения (1.15) будем искать в виде [11]

$$u_{\infty} = a \exp\left[-ikS\right] \tag{2.1}$$

где а, — действительная амплитуда, S — эйконал. После подстановок (2.1) в (1.15), отделив мнимые и дейстрительные части, получим

$$A_1 \triangle_1 \alpha_0 - k^2 \alpha_0 A_1 (\nabla_1 S)^2 + 2k A_2 (\nabla_1 \alpha) (\nabla_1 S) + \alpha_0 A_2 k \triangle_1 S - 2k^2 \alpha_0 \frac{\partial S}{\partial x} - C_1 \alpha_2$$

$$(2.2)$$

$$A_2 \triangle a_0 - A_2 k^2 a_0 (\nabla S)^2 - 2kA_1 (a_0) (\nabla S) + A_1 k a_0 S -$$

$$-2k\frac{\partial a_0}{\partial x_3} = C_2 a_0^3 \tag{2.3}$$

где 🔻 _ граднент по координатам х, и х2.

Решение этой системы ищем в виде

$$a_0 = a_1(x_1) + a_2(x_1, x_2, x_3), \quad S = S_0(x_3) + S_1(x_1, x_2, x_3)$$
 (2.4)

где a_1 и S_0 — медленно меняющиеся амплитуда и эйконал одномерной нелинейной невозмущенной квазимонохроматической волны. В силу того, что $\| \omega_1 t - k \mathbf{x}_3 \| \| k \mathbf{x}_3, \ \omega_1 t$, я выражениях (1.18)—(1.21) в малом слагаемом об в экспоненте можно полагать $t = \mathbf{x}_3/v$. Уравнение (1.15) имеет переменные коэффициенты, которые по предположению мало меняются по длине волны.

Подставляя (2.4) в (2.2), (2.3), исключая S, линеаризуя уравнения, получим систему уравнений

$$A_1 \triangle_1 a_2 + A_2 k a_1 \triangle_1 \triangle_1 - 2k^2 a_1 \frac{\partial S}{\partial x_1} - 2C_1 a_1^2 a_2 = 0$$
 (2.5)

$$A_1 \triangle_1 a_1 - A_1 a_1 \triangle_1 S_1 - 2k \frac{\partial a_1}{\partial x_1} - 3C_2 a_1^2 a_2 = 0$$
 (2.6)

Поскольку функции a_0 , C, и C_1 медленно меняются по длине возмущенной волны $2\pi/k_3$, решения уравнений (2.5), (2.6) имеют вид

$$a_{1} = a_{2} \exp \left[i\left(k_{3}x_{1} + k_{2}x_{2} - k_{1}x_{1}\right)\right]$$

$$S_{1} = S_{1} \exp \left[i\left(k_{3}x_{1} + k_{2}x_{1} + k_{3}x_{1}\right)\right]$$
(2.7)

Подставляя (2.7) в (2.5) и (2.6), получим систему алгебраических уравнений относительно a_2 и S_1 , которые имеют ненулевое решение, если определитель равен нулю. Отсюда находим k_3 в виде

$$k_3 = \frac{1}{4\pi} \left\{ i \left(2A_2 k^2 + 3a_1^2 C_2 \right) \pm \left\{ - \left(2A_2 k^2 + 3a_1^2 C_2 \right)^2 + 4k^2 \left[k^2 \left(A_1^2 + A_2^2 \right) + a_1^2 \left(3A_2 C_2 + 2A_1 C_1 \right) \right] \right\}^{1/2} \right\}$$

 $r_A = k_\perp^2 = (k_1)^2 + (k_2)^2$.

Условие устойчивости волны имеет вид: $\lim k_3 > 0$, $(x_3 > 0)$. Так как $A_* < 0$, волна неустойчива при $C_2 < 0$, а также при $C_2 > 0$, $|2A_1k_2^*| > 3a_1C_2$. Когда $2A_2k_2^2 + 3a_1C_2 > 0$, то имеет место устойчи-

вость при k^2 (A^2+A_2) — $a_1^2(3A_2C_2+2A_1C_1)>0$, при обратном знаке имеется неустойчивость. Так как при G=0, а также, когда в исходных уравнениях исключены все термоупругие и термические нелинейности $C_2<0$, волна всегда неустойчива.

3. Уэкие пучки. Из выражения (1.19) видно, что A_{\pm} пропорционально малым коэффициентам b и χ , поэтому в (1.15) можно пренебрегать величиной A_{\pm} относительно A_{\pm} в выражении которого пренебрегаем членом, содержащим χ Учитывая это обстоятельство, для плоского и аксиально симметричного случая, для которого вводятся цилиндрические координаты, уравнения (2.3) и (2.4), следует записать в виде:

$$2\frac{{}^{8}\partial S}{\partial z} + A_{1}\left(\frac{\partial S}{\partial r}\right)^{2} - \frac{A_{1}}{a_{0}k^{2}}\left(\frac{\partial^{2}a_{0}}{\partial r^{2}} + \frac{m}{r}\frac{\partial a_{0}}{\partial r}\right) = -\frac{C_{1}}{k^{2}}a_{0}^{2} \qquad (3.1)$$

$$\frac{\partial a_0^2}{\partial z^2} + A_1 \left(\frac{\partial a_0^2}{\partial r} \right) \left(\frac{\partial S}{\partial r} \right) + a_0^2 A_1 \left(\frac{\partial^2 S}{\partial r^2} + \frac{m}{r} \frac{\partial S}{\partial r} \right) = - \frac{C_2 a_0^4}{k} \quad (3.2)$$

где m=0 соответствует плоскому случаю, а m=1 — аксиально симметричному.

Следуя [11], решение (3.1) и (3.2) ищем в виде

$$S = \frac{r^2 \beta(z)}{2} + \tau(z), \qquad \alpha_0^2 = \frac{E_0}{f^{m+1}} \exp \left[-\frac{r^2}{r_0^2 f^2} \right]$$
 (3.3)

где f(z) и r_c — беараамерная и начальная ширина пучка, θ — радиус кривизны. Подставляя (3.3) в (3.1) и (3.2), нетрудно убедиться, что при m=0 выражения (3.3) для действительных f непригодны, так как приводят к противоречию, а для аксиально-симметричного пучка пригодны, противоречие не имеет места. Гогда для приосевых лучей получаем следующие обыкновенные дифференциальные уравнения:

$$2 d = dz - 2A_1/k^2 f^2 = -C_1 E_0^2/k^2 f^2$$

$$2 \frac{C_1 E_0^2}{2kA_1 f^2} - \frac{1}{A_1 f} \frac{df}{dZ}$$
(3.4)

$$\frac{d^2f}{dz^2} = \left(\frac{4A_1^2}{R^2} - \frac{1}{R^2}\right) \frac{1}{f^3} \tag{3.5}$$

где

$$R_{x} = r |k|^{2}, \quad R_{\text{els}}^{-2} = -\frac{C_{1}A_{1}E_{0}^{2}}{k^{2}r^{2}} + \frac{C_{2}^{2}E_{0}^{4}}{4k^{2}}$$
(3.6)

После интегрирования уравнения (3.5) для 🏴 получается выражение

$$\int \left(\frac{A_1^2}{R^2} + \frac{C_2 E_0 A_1}{kR} + \frac{A_1 C_1 E_0}{k^2 r_0^2} + \frac{4A_1}{R_A^2}\right) z^2 + 2\left(\frac{A_1}{R} + \frac{C_2 E_0}{2k}\right) z + 1 \quad (3.7)$$

При выводе (3.6) были учтены граничные условия: β (0) = 1/R, R —

раднус кривизны начального волнового фронта. f(0) = 1 и в отличне от [11]

$$\frac{df(0)}{dz} = \frac{A_1}{R} \div \frac{C_3 E_0^2}{2k} \tag{3.8}$$

Граничное условие (3.8) приводит к тому, что даже при сравнительно простом случае плоского начального фронта (R - 00), в выражении (3.7) остаются члены с 2, что приводит к более сложному поведению пучка, чем н нелинейной оптике.

Выражение (3.7) при / = 0 определяет фокальные точки:

$$\mathbf{z}_{*}^{-1}_{2} = -\left(\frac{A_{1}}{R} + \frac{C_{1}E}{2k}\right) \pm \left(R_{*}^{2} - 4A_{1}, R_{*}^{2}\right)^{1/2} \tag{3.9}$$

Из (3.9) нидно, что при $R_{**}>4$ A_*R_* , корин дейстнительные. По крайней мере, один $z_{\bullet}>0$, если $C_1E_0/2k>A_1R$ Если $C_1>0$, то неравенство может выполняться при R<0. Отметим, что при пыполнении первых двух условий $z_{\bullet 1, 1}>0$, если в (3.7) коэффициент при положителен. Для днухмерного случая, а также для вкснально-симметричного пучка с произвольным профилем можно воспольяонаться приближенным уравнением, которое получается из (1.15) отбрасыванием в нем C_1 по сравнению с C_2 , так как из выражений (1.20) и (1.21) видно, что $|C_1|>|C_1|$. Тогда правая часть уравнения (3.1) будет равняться нулю. Пренебрежем также в (3.11 членом, обуславливающим дифракцию. После втих упрощений, деля уравнение (3.2) на a_0^2 и вводя обозначения $u=\partial S/\partial r_1$ $\psi=a^{-1}$, получим следующую систему уравнений:

$$\frac{\partial u}{\partial z} + A_1 u \frac{\partial u}{\partial z} = 0 \tag{3.10}$$

$$-\frac{\partial \psi}{\partial z} - A_1 u \frac{\partial \psi}{\partial r} + A_1 \left(\frac{\partial u}{\partial r} + \frac{m}{r} u \right) + \frac{C_2}{k} = 0$$
 (3.11)

Уравнение (3.10) будем решать методом характеристик [8]. Решение уравнения (3.10) при условии z=0, $u=F\left(r\right)$ имеет вид

$$r = A_1 F(y) z + y, \quad u = F(y)$$
 (3.12)

Вдоль характеристики уравнение (3.11) можно написать в таком ниде:

$$-\frac{dx}{dz} + A_1 \left(\frac{\partial x}{\partial r} + \frac{m}{r} u \right) + \frac{C_1}{k} = 0$$
 (3.13)

где и определяется на (3.12). Интегрирующий множитель уравнения (3.13) имеет вид

$$\mu_1 = (1 + A_1 F z)^{-1} (y + A_1 F z)^{-n}$$
 (3.14)

Рассмотрим сперва случай m=1. Тогда согласно (3.14) общее решение (3.13) будет

$$\psi = \frac{C}{A_1 F(y - F)} \ln \left(\frac{1 + A_1 F'_z}{y + A_1 F_z} \right) + \frac{\chi_1(y)}{\mu_1}$$
 (3.15)

где χ_t — постоянная интегрирования. Однако для частного случая сферической волны F(y) = r/R на прямой r = y и z = 0 выражение ψ содержит неопределенность. Поэтому необходимо значение I(y) в виде сферической волны подставить в (3.13), а потом интегрировать, тогда получим следующее выражение:

$$\dot{z} = -\frac{C_2 R}{A_1} \left(1 + \frac{A_2 \varepsilon}{R}\right) + Z_1(g) y \left(1 + \frac{A_1 \varepsilon}{R}\right)^2$$

Если при

$$z = 0 \quad \psi = E_0^{-2} \exp(y^2/r_0)$$
 (3.16)

TO

$$Q = C_2(1 + A_1 z | R) z + (1 + A_1 z / R)^2 E_0^{-2} \exp(y^2 / r_0)$$
 (3.17)

Для приосевых лучей, когда Ψ и U имеют вид (3.3), нетрудно убедиться. что (3.17) переходит в (3.7), если в последнем подставить $C_1=0$.

При m=0 решение (3.13) имеет вид

$$\psi = (1 + A_1 F'z) \left[\frac{C_2}{A_1 F'} \ln \left(1 + A_1 F'z \right) + \mathcal{I}_1(y) \right]$$
 (3.18)

Если F = r/R и выполняются условия (3.16), то (3.18) принимает вид

$$\psi = \left(1 + \frac{A_1 z}{R}\right) \left[\frac{C_2 R}{A_1} \ln\left(1 + \frac{A_1 z}{R}\right) + E_0^2 \exp\left(y^2/r_0^2\right) \right]$$

Условие для огибающей получается, если продифференцируем первое уравнение в (3.12) по r и приравняем нулю, тогда получим $F'(y) = -(A_1z)^{-1} < 0$. Отсюда следует, что огибающая имеется при $R^{-1} < 0$, то есть для вогнутой волны. Значение y определяется из первого уравнения (3.12) и имеет вид:

$$y = rR(R - A_1 z)^{-1}$$

Для неоднородной среды, ограничиваясь использованным ныше приближением, достаточно считать р и с_{tokt} переменными. Проводя выклалки подобно [2], можно получить для неоднородной среды уравнение модулящим в следующем виде:

$$(A_1 + iA_2) \triangle U_0 - 2ik \frac{\partial U_0}{\partial x_1} = (C_1 + iC_2) + |U_0|^2 U_0$$

гле $u_{\infty}=\frac{1}{2}U_0$, аученое решение для u_{01} , данаемое законом сохранения энергии волны в виде $\frac{1}{4}e_2^2\sum v=\text{const},\ \sum m$ площадь нолнового фронта внутри элементарной лученой трубки.

Считая, что $C_1 \varphi^2$ и ст. медленно меняются по длине волны нозмущения, результаты, полученные для устойчивости полны, остаются в силе.

В конце оценим фокальные расстояния z_{ϕ^1} когда волна распространяется в железе. Предполагаем, что исходный фронт волны плоский $(R-\infty)$. Тогда при T=500 K, $b\approx 10^8$ кг/мс, $m=10^2$ с 1 , $r_0=10$ м и $E_0=9\cdot 10^4$ м $\upsilon\approx 3\cdot 10^1$ м/с, $\alpha^{-1}\approx 10$ м, $\approx 3\cdot 10^{-7}$ м. Когда $T=1000^6$ K, $b=10^3$ кг/мс, $\upsilon\approx 2\cdot 10^4$ м/с, $\omega=10^8$ с 1 , $r_0=4\cdot 10^{-2}$ м, и $E_0=8\cdot 10^{-4}$ м, $\alpha^{-1}\approx 1$ м, $z_{\phi^1}\approx 3\cdot 10$ м.

<mark>ՈՉ ԴԾԱՅԻՆ ՔՎ</mark>ԱԶԻՄՈՆՈՔՐՈՄԱՏԻԿ ԱԼԵՔՆԵՐԻ ՏԱՐԱԾՈՒՄԸ **ՋԵՐՄԱ**ԱՌԱՉԳԱԿԱՆ ԳԾԱՅԻՆ ՄԱԾՈՒՑԻԿ ՄԻՋԱՎԱՅՐՈՒՄ

Ա. Գ. ՐԱԳԳՈԵՎ, Ա. Վ. ՇԵԿՈՏԱՆ

Ամփոփում

Արտածված են ոչ դծային Հավասարումները կրող միջավայրում բվաղիմոնոքրոմատիկ ալիքների ամոլլիաուդայի և փուլի Համար։ Քննարկված են ալիքի կայունությունը և Նրա նեղ փնջերի ֆոկուսացումը։

THE PROPOGATION OF NON-LINEAR QUASIMONOCHROMATIC WAVES IN THERMOELASTIC LINEARLY VISCOUS MEDIUM

A. G. BAGDOEV, A. V. SHEKOYAN

Summary

The derivation of non-linear equations for the amplitude and phase of quasimonochromatic waves in dissipative medium is given. The stability of waves and focusing of beams are considered.

ЛИТЕРАТУРА

- Багдоен А. Г. Урависние линейной вязкотермомагнитоупругой среды вблизи фронтон воли.— Иви. АН Арм.ССР, Механика, 1974, т. 27, № 1.
- Бабич В. М. Лучевой метод вычисления интенсивности волновых фронтов в случае упругой неоднородной анизотропной среды. В сб. Вопросы динамической теории распространения сейсмических воли. Л.: Изд. ЛГУ, 1961.
- Зарембо Л. К., Красильников В. А. Нелинейные явления при распространении упругих поли в твердых телах.— Успехи физ. н., 1970, т. 102, № 4.
- Нигул У. К., Энтельбрект Ю. К. Нелицейные и лицейные переходные волновые процессы. Таллин Изд. АН Эст.ССР, 1972.
- Рыжоо О. С. О пелинейной акустике химически активных сред.— ПММ 1971.
 т. 35, № 6.

- 6. Селевов И. Г., Яковлев В. В. Дифракция воли на симметричных неоднородностях Киев: Наукова думка, 1978.
- 7. Ландау Л. Д., Лифшин Е. М. Теория упругости. М.: Наука, 1965.
- 8. Упасм Дж. Линейные и пеливейные волны. М.: Мир. 1977.
- 9. Бленд Д. Нелипейная динамическая теория упругости. М.: Мир. 1972.
- 10. Melkumyan G. H., Shekoyan A. V. On the theory of self-aktion of ultrasonic and hypersonic waves. Phys. stat. sol. (a), 1978, v. 48, p. 23.
- Ахманов С. А., Сухоруков А. И., Хохлов Р. В. Самофокусировка и дифракция в нелинейной среде.— Успехи физ. и., 1967, т. 93, № 1.
- 12. Руденко О. В., Солуян С. И. Теоретические основы нелинейной лиустики. М.: Наука, 1975.
- 13. Сатомонян А. Я. Проникание М.: Изд. МГУ, 1974.

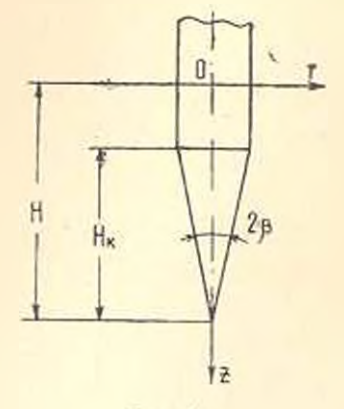
Институт механики АН Арминской ССР Поступила в редакцию 19, [11, 1981]

ПРОНИКАНИЕ В ВЕСОМУЮ ЖИДКОСТЬ ТОНКОГО КОНУСА. ПЕРЕХОДЯЩЕГО В ТОНКИЙ ЦИЛИНДР

АВАГЯН С. Г.

§ 1. Рассматривается задача о проникании тонкого конуса, переходящего в тонкий цилиндр, в весомую жидкость. Получены давление на конусе и сила сопротивления жидкости прониканию. Рассматривается также свободное проникание тонкого конечного конуса в жидкость.

При такой постановке задачи особый интерес представляет тот случай, когда тело уже погружено на глубину $H>H_{\star}$ (фиг. 1). При $H=H_{\star}$ решение совпадает с решением для бесконечного конуса [4]. Потенциал скоростей Ψ удовлетворяет уравнению



Фиг. 1.

$$\frac{\partial^2 \varphi}{\partial z^2} + \frac{\partial^2 \varphi}{\partial z^2} + \frac{1}{r} \frac{\partial \varphi}{\partial z} = 0 \quad (1.1)$$

Дилиндрическая система координат выбрапа, как показано на фиг. 1. Решение задачи ищем методом источников, распределенных по конической части тела. Начальные условия

$$\varphi = 0, \quad \frac{\partial \varphi}{\partial t} = 0 \qquad \text{при } t = 0 \quad (1.2)$$

На свободной поверхности имеет место условие

$$\frac{\partial^4 \varphi}{\partial t^2} - g \frac{\partial \varphi}{\partial z} = 0$$

Граничное условие на теле имеет вид

$$\frac{\partial z}{\partial r} = \begin{cases} -H \frac{\partial r_z}{\partial z} & \text{при } H - H_z < z < H \\ 0 & \text{при } 0 < z < H - H_z, z > H \end{cases}$$
 (1.3)

 r_A е H— скорость проникалия, r_{ν} — уравнение образующей колуса $r_{\nu} = \beta (H-z), \ \beta$ — угол полураствора колуса. Можно полагать

$$\varphi = \varphi_0 + \varphi_1 \tag{1.4}$$

где \mathcal{P}_0 соответствует решению задачи о движении тела в безграничной среде — $\infty < z < \infty$, а φ_1 — отражению от свободной поверхности. φ_0 ищем в виде

$$\Psi_{0} = -\frac{1}{4\pi} \int_{H-H_{2}}^{H} \frac{q(z_{1}, t) dz_{1}}{\sqrt{(z_{1}-z)^{2}+r^{2}}}$$
(1.5)

где $q(z_i, t)$ — интенсивность источника. Для малых t имеем

$$\left(\frac{d\tau}{dr}\right)_{r=0} = \frac{1}{2^{-r}} \frac{q(z,t)}{r} \tag{1.6}$$

Из граничного условия (1.3) и (1.6) получим, что

$$q(z_1, t) = \begin{cases} 2\pi\beta^2 H(H - z_1) & H - H_k < z_1 < H \\ 0 & 0 < x < H - H_k, \end{cases}$$
 (1.7)

Для удобства рассмотрям решение ϕ° от действия отдельных источников, где

$$\varphi = \int_{0}^{\pi} \varphi^{0} dz_{1} \tag{1.8}$$

Для 📲 получится

$$\varphi_0^0 = -\frac{q(z_1, t)}{4\pi V(z_1 - z)^2 + r^2} = -\frac{1}{4\pi} \int_0^{\infty} e^{-kz - t} J_0(kr) \, q(z_1, t) \, dk \qquad (1.9)$$

Тогда отраженные волны 📲 можно искать в виде

$$= \int_{0}^{\infty} e^{-k(s_{1}+s)} f_{0}(kr) A(k, t) dk$$
 (1.10)

Обозначим

$$z = -\frac{q(z_1, t)}{dz} h(H - z_1) h(z_1 - H + H_k)$$

где h — единичная функция

$$h(H-z_1)h(z_1-H+H_k)=\begin{bmatrix} 1 & \text{при } H-H_k < 1 < H \\ 0 & \text{в остальных случаях} \end{bmatrix}$$

Из граничного условия на поверхности жидкости z=0

$$\frac{\partial^2 q}{\partial t^2} - g \frac{\partial v}{\partial z} = 0$$

из (1.10) и (1.9) после преобразований по Лапласу по t получим

$$A = \frac{k - s}{gk + s} \tag{1.11}$$

где с обозначает преобразование Лапласа.

Тогда для ф имсем

$$!\mathbf{\varphi}_{1}^{\bullet} = \int e^{-k(s_{1}+s)} \int_{0} (kr) \frac{gk - s^{2}}{gk + s^{2}} c dk$$
 (1.12)

Применяя обратное преобразование Лапласа, найдем

$$\varphi_{1}^{0} = -\frac{c}{V(z_{1}+z)^{2}+r^{2}} + \frac{1}{\sqrt{2}} \left[\int_{0}^{1-z_{3}/V_{1}} \frac{q(z_{1}, t-t')}{4\pi} \sin V \, \overline{gkt'} \, dt' \right] dk \qquad (1.13)$$

Исходя на (1.8), получим

$$\frac{\partial \Phi}{\partial t} = \int_{H_1-H_2}^{H} \frac{\partial z^2}{\partial t} dz_1 \tag{1.14}$$

Согласно (1.4)

$$\frac{\partial \phi^0}{\partial t} = \frac{\partial \phi^0_0}{\partial t} + \frac{\partial \phi^0_1}{\partial t}$$

Для простоты рассмотрим тот случай, когда проникание происходит с постоянной скоростью, то есть $H=V_{c}t$. Из (1.9) и (1.13) получим

$$\frac{\beta^{2} V_{0}^{2} h (z_{1} - V_{0}t + H_{h}) h (V_{0}t - z_{1})}{2 V (z_{1} + z)^{2} + r^{2}}$$

$$-\frac{\beta^{2} V_{0}^{3} (t - z_{1} / V_{0}) \delta (V_{0}t - z_{1}) h (z_{1} - V_{0}t + H_{h})}{2 V (z_{1} + z)^{2} + r^{2}}$$

$$\frac{\beta^{2} V_{0}^{3} (t - z_{1} / V_{0}) \delta (V_{0}t - z_{1}) h (z_{1} - V_{0}t + H_{h})}{2 V (z_{1} - z)^{2} + r^{2}}$$

$$-\frac{\beta^{2} V_{0}^{3} (t - z_{1} / V_{0}) \delta (z_{1} - V_{0}t + H_{h}) h (V_{0}t - z_{1})}{2 V (z_{1} - z)^{2} + r^{2}}$$

$$\frac{\beta^{2} V_{0}^{3} (t - z_{1} / V_{0}) \delta (V_{0}t - z_{1}) h (z_{1} - V_{0}t + H_{h})}{2 V (z_{1} - z)^{2} + r^{2}}$$

$$-\int_{0}^{4} \frac{1}{2} V_{0}^{3} (kr) \int_{0}^{2} V_{0}^{2} \left[1 - \cos V_{0} k \left(t - \frac{z_{1}}{V_{0}}\right)\right] dk \qquad (1.15)$$

где 6 — импульсная функция. После разложения подынтегрального выражения по степеням g до первого порядка дает вычисление интеграла в (1.14)

$$\frac{\partial \psi}{\partial t} = \frac{\beta^{2} V_{0}}{2} \ln \frac{V_{0}t - z - \sqrt{(V_{0}t - z)^{2} + r^{2}}}{V_{0}t - H_{k} - z + \sqrt{(V_{0}t - H_{k} - z)^{2} + r^{2}}} - \frac{\beta^{2} V_{0}^{2}}{2} \ln \frac{V_{0}t + z + \sqrt{(V_{0}t + z)^{2} + r^{2}}}{V_{0}t - H_{k} + z + \sqrt{(V_{0}t - H_{k} + z)^{2} + r^{2}}} - \frac{\beta^{2} V_{0}^{2} H_{k}}{2\sqrt{(V_{0}t - H_{k} - z)^{2} + r^{2}}} - \frac{\beta^{2} V_{0}^{2} H_{k}}{2\sqrt{(V_{0}t - H_{k} - z)^{2} + r^{2}}} - \frac{g\beta^{2}}{2} \left[\frac{H_{k}^{2}}{\sqrt{(V_{0}t - H_{k} + z)^{2} + r^{2}}} - \frac{g\beta^{2}}{2\sqrt{(V_{0}t - H_{k} + z)^{2} + r^{2}}} + \frac{V_{0}t + z + \sqrt{(V_{0}t - H_{k} + z)^{2} + r^{2}}}{V_{0}t - H_{k} - z + \sqrt{(V_{0}t - H_{k} + z)^{2} + r^{2}}} + 2(V\sqrt{(z + V_{0}t)^{2} + r^{2}} - \sqrt{(V_{0}t - H_{k} + z)^{2} + r^{2}}) \right] (1.16)$$

Давление внутри жидкости вычисляется по формуле

$$\frac{p}{\rho_0} = -\frac{\partial \varphi}{\partial t} - gz + \frac{p_0}{\rho_0} - \frac{V^*}{2} \tag{1.17}$$

График зависимости $P=2(p-p_0)/(\rho_0 r^2 V_0^2)$ от $z=z/V_0 t$ дан на фиг. 2. Из графика видно, что давление принимает также и отрицательные значения, что наименьшее давление имеет место у основания конуса. Следует отметить, что при проникании бесконечного конуса всюду давление имеет положительное значение. Сила сопротивления со стороны жидкости на конус вычисляется по формуле

$$Q = -2\pi\rho_{\rm e}\beta^2 \int_{V_0^2 t - H_A}^{F_{\rm e}t} (V_0 t - z) \left(\frac{\partial \varphi}{\partial t} - gz + \frac{\beta^2 V_0^2}{2}\right) dz \qquad (1.18)$$

После подстановки значения $\theta \phi, \partial t$ из (1.16) и вычисления интеграла получим

$$F = \frac{1\lambda^{2}}{4} \left(\ln \frac{4}{\beta^{2}} - 1 \right) - (\lambda - 1) \ln \frac{2 - \lambda}{2(1 - \lambda)} + \ln \frac{2 - \lambda}{2} - \frac{1}{2} \left(2 - \lambda \right) \ln \frac{2(2 - \lambda)}{2(1 - \lambda) + \sqrt{4(1 - \lambda)^{2} + \beta^{2}}} + \frac{\lambda^{2}}{2} \ln \frac{2}{\beta\lambda} + \frac{\eta\lambda^{2}}{2\beta^{2}} \left(1 - \frac{2}{3} \lambda \right) - \frac{1}{2} \ln \frac{2}{\beta\lambda} + \frac{\eta\lambda^{2}}{2\beta^{2}} \left(1 - \frac{2}{3} \lambda \right) - \frac{1}{2} \ln \frac{2}{\beta\lambda} + \frac{\eta\lambda^{2}}{2\beta^{2}} \left(1 - \frac{2}{3} \lambda \right) - \frac{1}{2} \ln \frac{2}{\beta\lambda} + \frac{\eta\lambda^{2}}{2\beta^{2}} \left(1 - \frac{2}{3} \lambda \right) - \frac{1}{2} \ln \frac{2}{\beta\lambda} + \frac{\eta\lambda^{2}}{2\beta^{2}} \left(1 - \frac{2}{3} \lambda \right) - \frac{1}{2} \ln \frac{2}{\beta\lambda} + \frac{\eta\lambda^{2}}{2\beta^{2}} \ln \frac{2}{\beta\lambda} + \frac{\eta\lambda^{2}}{2\beta} + \frac{\eta\lambda^{2}}{2\beta^{2}} \ln \frac{2}{\beta\lambda} + \frac{\eta\lambda^{2}}{2\beta^{2}} + \frac{\eta\lambda^{2}}{2\beta^{2}} + \frac{\eta\lambda^{2}$$

$$\frac{\eta}{2} \left[-\frac{1}{2} (2-\lambda) \ln \frac{2(2-\lambda)}{2(1-\lambda) + \sqrt{4(1-\lambda)^2 + \beta^2}} + \frac{1}{3} \ln \frac{2-\lambda}{2-\lambda} + \frac{2}{3} \ln \frac{2-\lambda}{2-\lambda} \right]$$

$$\frac{2}{3} - \frac{1}{3} \lambda^3 + 2(1-\lambda) \ln \frac{2(1-\lambda)}{2-\lambda} + \frac{2}{3} \ln \frac{2-\lambda}{2(1-\lambda)}$$

$$\frac{4}{3} \ln \frac{2(1-\lambda)}{2-\lambda} \ln \frac{2(1-\lambda)}{2-\lambda$$

ным конусом получается меньше. При $\lambda = 1$ получится выражение $F = -\frac{1 + \ln 4\beta^2}{4} +$

$$+\frac{\pi}{2}\left(\ln\frac{2}{8}-\frac{8}{3}\ln 2-\frac{1}{3}+\frac{1}{38^2}\right)$$

 $+\frac{4}{3}(1-\lambda^2) \ln \frac{2(1-\lambda)}{2-\lambda}$

 $F = \frac{Q}{2\pi e^{3!} V_0^{-1/2}} = 1 = \frac{H_k}{V_{cl}}, \quad q = \frac{gt}{V_c}$

Анализ (1.19) показывает, что сила сопротивления по сравнению с бесконеч-

 которое совнадает с результатом решения для бесконечного конуса.

§ 2. Свободное проникание конечного тонкого концеа в несжимаемию жидкость.

В этой задаче тоже важен тот случан, когда тело проникает на глубину $H = H_{\kappa}$, где H_{κ} — высота конуса. Когда глубина проникация получается меньше высоты конуса, задача уже решена [5] и доказано, что пои таком условии получается колебательное движение. Граничное условие на теле будет

$$\frac{\partial \varphi}{\partial r}$$
 H^3 при $H - H_k < z < H$ H_{k_1}

где H- глубина проникания, H- скорость проникания. Здесь не учиты вается кавитация. Проделав соответствующие выкладки, как и в § 1. в сохраняя члены, содержащие первую степень д. получим

$$\frac{\frac{\partial}{\partial t}}{2} \left[(H-z) \ln \frac{4(z+H_k-H)}{\beta^2 (H-z)} - (H+z) \ln \frac{H+z}{H-H_k+z} \right] - \frac{\beta^2 H^2 H_k}{2} \left(\frac{1}{\sqrt{(H-H_k+z)^2 + r^2}} - \frac{1}{\sqrt{(H-H_k-z)^2 + r^2}} \right) - \frac{1}{2} \left(\ln \frac{4(z+H_k-H)}{\beta^2 (H-z)} - \ln \frac{H+z}{H-H_k+z} \right) + \frac{1}{2} \left(\ln \frac{4(z+H_k-H)}{\beta^2 (H-z)} - \ln \frac{H+z}{H-H_k+z} \right) + \frac{1}{2} \left(\ln \frac{4(z+H_k-H)}{\beta^2 (H-z)} - \ln \frac{H+z}{H-H_k+z} \right) + \frac{1}{2} \left(\ln \frac{4(z+H_k-H)}{\beta^2 (H-z)} - \ln \frac{H+z}{H-H_k+z} \right) + \frac{1}{2} \left(\ln \frac{4(z+H_k-H)}{\beta^2 (H-z)} - \ln \frac{H+z}{H-H_k+z} \right) + \frac{1}{2} \left(\ln \frac{4(z+H_k-H)}{\beta^2 (H-z)} - \ln \frac{H+z}{H-H_k+z} \right) + \frac{1}{2} \left(\ln \frac{4(z+H_k-H)}{\beta^2 (H-z)} - \ln \frac{H+z}{H-H_k+z} \right) + \frac{1}{2} \left(\ln \frac{4(z+H_k-H)}{\beta^2 (H-z)} - \ln \frac{H+z}{H-H_k+z} \right) + \frac{1}{2} \left(\ln \frac{4(z+H_k-H)}{\beta^2 (H-z)} - \ln \frac{H+z}{H-H_k+z} \right) + \frac{1}{2} \left(\ln \frac{4(z+H_k-H)}{\beta^2 (H-z)} - \ln \frac{H+z}{H-H_k+z} \right) + \frac{1}{2} \left(\ln \frac{4(z+H_k-H)}{\beta^2 (H-z)} - \ln \frac{H+z}{H-H_k+z} \right) + \frac{1}{2} \left(\ln \frac{4(z+H_k-H)}{\beta^2 (H-z)} - \ln \frac{H+z}{H-H_k+z} \right) + \frac{1}{2} \left(\ln \frac{4(z+H_k-H)}{\beta^2 (H-z)} - \ln \frac{H+z}{H-H_k+z} \right) + \frac{1}{2} \left(\ln \frac{4(z+H_k-H)}{\beta^2 (H-z)} - \ln \frac{H+z}{H-H_k+z} \right) + \frac{1}{2} \left(\ln \frac{4(z+H_k-H)}{\beta^2 (H-z)} - \ln \frac{H+z}{H-H_k+z} \right) + \frac{1}{2} \left(\ln \frac{4(z+H_k-H)}{\beta^2 (H-z)} - \ln \frac{H+z}{H-H_k+z} \right) + \frac{1}{2} \left(\ln \frac{4(z+H_k-H)}{\beta^2 (H-z)} - \ln \frac{H+z}{H-H_k+z} \right) + \frac{1}{2} \left(\ln \frac{4(z+H_k-H)}{\beta^2 (H-z)} - \ln \frac{H+z}{H-H_k+z} \right) + \frac{1}{2} \left(\ln \frac{4(z+H_k-H)}{\beta^2 (H-z)} - \ln \frac{H+z}{H-H_k+z} \right) + \frac{1}{2} \left(\ln \frac{4(z+H_k-H)}{\beta^2 (H-z)} - \ln \frac{H+z}{H-H_k+z} \right) + \frac{1}{2} \left(\ln \frac{4(z+H_k-H)}{\beta^2 (H-z)} - \ln \frac{H+z}{H-H_k+z} \right) + \frac{1}{2} \left(\ln \frac{4(z+H_k-H)}{\beta^2 (H-z)} - \ln \frac{H+z}{H-H_k+z} \right) + \frac{1}{2} \left(\ln \frac{4(z+H_k-H)}{\beta^2 (H-z)} - \ln \frac{H+z}{H-H_k+z} \right) + \frac{1}{2} \left(\ln \frac{4(z+H_k-H)}{\beta^2 (H-z)} - \ln \frac{H+z}{H-H_k+z} \right) + \frac{1}{2} \left(\ln \frac{4(z+H_k-H)}{\beta^2 (H-z)} - \ln \frac{H+z}{H-H_k+z} \right) + \frac{1}{2} \left(\ln \frac{4(z+H_k-H)}{\beta^2 (H-z)} - \ln \frac{H+z}{H-H_k+z} \right) + \frac{1}{2} \left(\ln \frac{4(z+H_k-H)}{\beta^2 (H-z)} - \ln \frac{H+z}{H-H_k+z} \right) + \frac{1}{2} \left(\ln \frac{4(z+H_k-H)}{\beta^2 (H-z)} - \ln \frac{H+z}{H-H_k+z} \right) + \frac{1}{2} \left(\ln \frac{4(z+H_k-H)}{\beta^2 (H-z)} - \ln \frac{H+z}{A} \right) + \frac{1}{2} \left(\ln \frac{4(z+H_k-H)}{\beta^2 (H-z)} - \ln \frac{H+z}{A} \right) + \frac$$

$$+\frac{\beta^2 g}{2} \left[2(z+H) \ln \frac{H+z}{H-H_h+z} - 2H_h - \frac{H_h}{\sqrt{(H-H_h+z)^2+r^2}} \right]$$

Силу сопротивления вычислим по формуле

$$Q = -2\pi\rho_0\beta^2 \int_{H-H_k}^H \left(\frac{\partial \phi}{\partial t} - gz + \frac{H^s\beta^2}{2}\right) (H-z) dz \qquad (2.1)$$

Исходя на захона Ньютона

$$mH = mg - Q$$

н учитывая (2.1), найдем скорость проникания

$$H = \pm | M$$

$$-2 \int_{a_1}^{H} \frac{a_2}{a_1} dH \Big|_{A}^{H} = 2 \int_{a_1}^{H} \frac{a_2}{a_1} dH$$

$$M = e \qquad \qquad \left(\frac{2a_2}{a_1} e^{-H_k} - \frac{dH}{a_1} \right) = 2 \int_{a_1}^{H} \frac{a_2}{a_1} dH$$

$$+ \frac{mV_0^2 + 2g\left(mH_k - \frac{H_k}{4}\Delta\right)}{m + gH^2} e$$

Отсюда найдем ту глубину H_{ii} где тело останавливается. Имеем

$$\int_{H_{4}}^{H_{1}} \frac{2 \int_{a_{1}}^{H} \frac{a_{3}}{a_{1}} dH}{dH} \frac{mV_{0}^{2} + 2g\left(mH_{4} - \frac{H_{4}^{4}}{4}\Delta\right)}{m + aH_{4}^{3}} = 0$$

где a_1 , a_2 , a_3 , a_4 — функции, зависящие от H, а α , Δ — постоянные. Качественный анализ показывает, что такая глубина реально существует и для этого необходимо, чтобы было $\lambda > \sqrt{\frac{m}{m}}$ Значит, свободно проинкающее в весомую жидкость тело всегда останавливается при указанном условии.

В заключение автор выражает благодарность А. Г. Багдоеву за внимание к работе и ее полезное обсуждение.

ԲԱՐԱԿ ԳԼԱՆԻ ՓՈԽԱՆՑՎՈՎ ԲԱՐԱԿ ԿՅՆԻ ԹԱՓԱՆՑՈՒՄԸ ԿՇԻՌ ՈՒՆԵՑՈՎ ՀԵՂՈՒԿԻ ՄԵՋ

Ս. Դ. ԱՎԱԳՅԱՆ

Ասքփոփում

Դիտարկվում է կչիռ ունևցող Հեղուկի մեջ բարակ դյանի փոխանցվող բարակ կոնի Թափանցման խնդիրը։

Որոշվում են ձնշումը կոնի վրա և թափանցմանը Հեղուկի դիմադրության ուժը։ Դիտարկվում է նաև բարակ կոնի աղատ թափանցումը `եղուկի մեջ։

THE PENETRATION IN PONDERABLE FLUID OF A THIN CONE PASSING INTO A THIN CYLINDER

S. G. AVAGIAN

Summary

The pressure on the cone and the resistance force of fluid to penetration are obtained. The free penetration of a thin finite cone in fluid is also considered.

ЛИТЕРАТУРА

- 1. Баглося А. Г. Пространственные нестационарные движения сплошной среды с ударными волнами. Ереван, изд-во АН Арм.ССР, 1961.
- 2. Сатомонян А. Я. Проникание. Изд-во Моск. ун-та, 1974.
- Деч Г. Руководство к практическому применению преобразования Лапласа, М., Изд-во «Наука», 1965.
- 4. Авалял С. Г., Багдоев А. Г. Некоторые задачи проникания тол в весомую жидкоств. Изв. АН Арм.ССР, Механика, 1980, т. XXXIII, № 4.
- 5. Исследования по механике твердого деформируемого тела. Ереван: Изд-во All Арм.ССР, 1981. с. 10—16.

Институт механики АН Армянской ССР Поступная в редакцию 10. IV. 1981

КРУГЛАЯ ПЛАСТИНКА МИНИМАЛЬНОГО ОБЪЕМА ИЗ ИДЕАЛЬНО-ПЛАСТИЧЕСКОГО ОРТОТРОПНОГО МАТЕРИАЛА, РАБОТАЮЩАЯ В ПОЛЕ ДЕЙСТВИЯ ОБЪЕМНЫХ СИЛ

минасян в. н.

Использованием достаточных условии Друкера-Шилда [1] определение толщины однослойной идеально-пластической ортотропной палстинки минимального объема, работающей в поле действия объемных сил, сведится к решению краевой задачи для нелинейного интегро-дифференциального уравнения относительно скорости прогиба пластинки. Отыскивается пластинка гладкой формы. Следуя А. А. Ильюшину, путем введения неизвестной постоянной и специальных обозначений эта краевая задача сводится к задаче Коши для системы трех обыкновенных дифференциальных уравнений первого порядка относительно безразмерных функций. Выясняется асимптотическое поведение решения вблизи центра пластинки. Приводятся примеры решения с необходимыми иллюстрациями.

1. Пусть круглая однослойная пластинка радиуса R несет равномерно распределенную поперечную нагрузку интенсивности q и находится и поле действия объемных сил плотности q. Материал пластинки обладает свойством цилиндрической ортотропии и его поведение за пределами упругости описывается законом течения, ассоциированным с поверхностью Мизеса-Хилла [2]. Целью работы является определение толщины гладкой пластинки 2h, которая при данной нагрузке и плотности объемных сил в предельном состоянии обеспечивает минимальный объем.

Известно [5, 6, 7, 8], что однослойная пластинка наименьшего объема без особых ограничений вырождается в систему очень тонких и высоких ребер, объем которой равен нулю. Можно путем соответствующих ограничений получить реальную ребристую конструкцию.

В настоящей статье оптимальная пластинка отыскивается в классе «безребристых» пластинок.

Начало цилиндрической системы координат Г. О, Z выберем в центре срединной плоскости пластияки, а ось Z направим вертикально вииз.

Основные положения классической теории изгиба упругих тонких пластин считаются справедливыми и при пластическом изгибе.

Дифференциальное уравнение рапновесия элемента пластинки имеет вид [3]:

$$\frac{dM_r}{dr} + \frac{M_r - M_0}{r} + \frac{qr}{2} + \frac{2r}{r} \int_0^{hrdr} dr = 0$$
 (1.1)

$$M_{r} = \int_{-h}^{h} a_{z} dz, \quad M_{\theta} = \int_{-h}^{h} a_{\theta} z dz \tag{1.2}$$

изгибающие моменты в сечениях r = const и 0 = const. Компоненты скоростей деформации в радиальном и кольцевом направлениях определяются формулами [3]

$$\xi_i = z \epsilon_i, \quad \xi_i = z \epsilon_i \tag{1.3}$$

где

$$x_r = -\frac{d^2w}{dr}, \quad x_t = -\frac{1}{r}\frac{dw}{dr} \quad (1.4)$$

Считая, что материал идеально-пластический и в каждой точке иластинки имеются три главных направления анизотропии, совпадающие с направлениями координатных линий, условие текучести в пространстие изгибающих моментов представим в виде [2]

$$f = (G+H) M_{\rm s}^2 - 2HM_{\rm s} M_0 + (F+H) M_0^2 - h^4 = 0$$
 (1.5)

С помощью ассоцинрованного закона течения и условня текучести (1,5) для скоростей кривизи и изгибающих моментов пластинки получим

$$M_{\bullet} = \frac{1}{\mu} \frac{(F+H) \times_{e} + H \times_{e}}{FG + GH + HF}$$

$$M_{\bullet} = \frac{1}{\mu} \frac{(G+H) \times_{e} + H \times_{e}}{FG + GH + HF}$$

$$M_{\bullet} = \frac{1}{\mu} \frac{(G+H) \times_{e} + H \times_{e}}{FG + GH + HF}$$

$$(1.6)$$

где

$$p = \frac{1}{h^2} \sqrt{\frac{(F+H)x_r^2 + 2Hx_rx_t + (G+H)x_0^2}{FG+GH+HF}}$$
 (1.7)

Известно [1], что если при заданных нагрузках и плотности объемных сил пластинка находится в предельном состоянии и существует такое поле кинематически допустимых скоростей обобщенных деформации, связанных с обобщенными усилиями ассоциированным законом течения, при котором производная скорости модифицированной диссипации удельной анергии по толицине принимает постоянное положительное эначение во всей пластинке, то такая пластинка имеет минимальный объем.

Вышеупомянутое условие в случае осесимметричного поперечного из-

$$\frac{1}{2}\frac{\partial D}{\partial h} - \gamma w = k = \text{const} \quad 0 \tag{1.8}$$

где k — положительная постоянная, D — скорость диссипации энергии единичной площади срединной плоскости пластинки

$$D = M_r x_r + M_b x_b \tag{1.9}$$

С учетом (1.6) из (1.9) можно записать

$$D = \mu [(G+H) M_r^2 - 2HM_r M_0 + (F+H) M_0^2]$$
 (1.10)

Далее, из (1.5) и (1.10) следует, что

$$D = \mathbf{1}^{\mathbf{1}} h^{\mathbf{1}} \tag{1.11}$$

Подставляя из (1.7) значение μ в (1.11), для скорости диссипации внергии получим следующее выражение через скорости кривизи x_1 и x_2 :

$$D = h^2 \sqrt{\frac{(F+H)x_1^2 + 2Hx_2x_1 + (G+H)x_1^2}{FG+GH+HF}}$$
 (1.12)

Для полутолщины пластинки /г с учетом (1.8) и (1.12) получим

$$h = (k + \gamma w) \frac{V FG + GH + HF}{V (F - H) x_{0}^{2} + 2Hx_{0} x_{0} + (G + H) x_{0}}$$
(1.13)

Из (1.7) и (1.13) следует

$$\mu = \frac{1}{(k + \gamma w)^{-}} \left| \frac{(F+H) x_{r}^{2} + 2H x_{r} x_{\theta} + (G+H)}{IG + GH + HF} \right|$$
 (1.14)

Введем следующие обозначения:

$$a_1 = \frac{F+H}{\sqrt{FG+GH+HF}}, \quad a_2 = \frac{G+H}{\sqrt{FG+GH+HF}} \quad (1.15)$$

$$a_3 = \frac{H}{\sqrt{FG+GH+HF}}, \quad \alpha = (FG+GH+HF)^{1/4}$$

С учетом этих обозначений имеем

$$M_{r} = 2(k + \gamma w)^{2} \frac{\alpha_{1}x_{r} + \alpha_{3}x_{6}}{\frac{2}{1+\frac{2}{1+2}} + 2\alpha_{3}x_{r}x_{6} + \alpha_{2}x_{6}}$$

$$M_{0} = 2(k + \gamma w)^{2} \frac{\alpha_{2}x_{6} + \alpha_{3}x_{r}}{(\alpha_{1}x_{r}^{2} + 2\alpha_{3}x_{r}x_{6} + \alpha_{2}x_{6}^{2})^{\frac{1}{1+2}}}$$
(1.16)

$$h = \alpha (k + \gamma w) \frac{1}{(\alpha_1 x_s^2 + 2\alpha_3 x_s x_g + \alpha_3 x_g^2)^{1/2}}$$
 (1.17)

Подставляя выражения изгибающих моментов (1.16) и толщины пластинки (1.17) в дифференциальное уравнение равновесия (1.1), после некоторых выкладок получим

$$\left[(a_{1}a_{1} - 3a^{2}) x^{2} - 4a_{1}a_{3}x_{r} x_{1} - 2a^{2}x^{2} \right] \frac{dx}{dr} - \left[2a_{1}a_{3}x_{r}^{2} + (a^{2} + 3a_{1}a_{2}) x_{r} x_{1} + \frac{2a_{2}a_{3}x_{2}^{2}}{dr} + \frac{1}{r} \left[(a_{1} - a_{3}) x_{r} + (a_{1} - a_{2}) x_{1} \right] (a_{1}x_{r}^{2} + 2a_{3}x_{r} + a_{2}x_{0}^{2}) - \frac{2\gamma rx_{0}}{r} \left(a_{1}x_{r} + a_{3}x_{0} \right) (a_{1}x^{2} + 2a_{3}x_{r} x_{0} + a_{2}x^{2}) + \frac{2\gamma r^{2}}{r} \left[\frac{a_{1}x_{r}^{2} + 2a_{3}x_{r} x_{0} + a_{2}x_{0}^{2}}{(k + \gamma w)^{2}} \right] = 0$$

$$\left[\frac{(a_{1}x_{r}^{2} + 2a_{3}x_{r} x_{0} + a_{2}x_{0}^{2})^{\frac{2}{r}}}{(k + \gamma w)^{2}} \right] = 0$$

К втому уравнению следует добавить ограниченность скорости прогиба в центре пластинки и граничные условия, которые имеют вид:

а) при шариирном опирании

$$w|_{r=8} = M_r|_{r=8} = 0 (1.19)$$

б) при защемленин

$$w\big|_{r=R} = \frac{dw}{dr}\bigg|_{r=R} = 0 \tag{1.20}$$

Таким образом, задача определения толщины ортотронной идеальнопластической однослойной пластинки минимального объема, работающей в поле действия объемных сил, при гладкой поверхности текучести материала свелась к краевой задаче для нелинейного интегро-дифференциального уравнения третьего порядка относительно скорости прогиба (1.18) с соответствующими граничными условиями (1.19) или (1.20).

2. Решение полученной выше красвой задачи связано с большими грудностями. Пользуясь осесимметричностью, можно задачу свести к задаче Коши, когорая решается существенно проще. С этой целью, следул [3], яведем обозначения

$$r = ce^{-r}$$
, $\overline{w} = \frac{w}{akR}$, $\overline{q} = \frac{aq}{2} \frac{R^2}{e^2}$, $\overline{\gamma} = \alpha R \gamma$ (2.1)

где μ — новая безразмерная переменная, с — неизвестная постоянная. С учетом (2.1) уравнение (1.18) запишем в виде системы

$$\frac{dw}{dv} = x, \quad \frac{dx}{dv} = v$$

$$\frac{dv}{dv} = -2x - 3v - \frac{1}{\sqrt{B-3B_1}} \left\{ \frac{2 \cdot BB_1 x}{\sqrt{w}} + B(B_2 - B_1) + \frac{1}{\sqrt{B-3B_1}} \right\} - \frac{1}{\sqrt{B-3B_1}} \left\{ \frac{2 \cdot BB_1 x}{\sqrt{w}} + B(B_2 - B_1) + \frac{1}{\sqrt{B-3B_1}} \right\}$$

$$= (a_3 B - 3B_1 B_2) (2x - v) - \frac{B^{-2} e}{(1 + \gamma w)} \left[\overline{q} - 2\overline{\gamma} e^{2\phi} \right] \left\{ \frac{(1 + \gamma w) e^{-4\gamma}}{B^{1/2}} dz \right\}$$

где приняты обозначения

$$B = a_1 (x + v)^2 - 2a_1 x (x + v) + a_2$$

$$B_1 = a_1 x - a_1 (x - v), \quad B_2 = a_2 - a_3 (x - v)$$
(2.3)

Граничные условия в новых обозначениях примут вид;

а) при шарнирном опирании

$$\overline{w}\Big|_{p=p_a}=0, \quad B_1B^{-N^2}\Big|_{p=p_a}=0$$
 (2.4)

б) при защемлении

$$\overline{u} \Big|_{z=z_a} = 0, \qquad \frac{d\overline{u}}{du} \Big|_{z=z_a} = 0 \tag{2.5}$$

Полутолщина и объем пластинки определяются формулами

$$\frac{h}{R} = \frac{1 + \tau w}{B^{1/2}} e^{2(\rho_{\alpha} - \epsilon)}, \quad \frac{V}{4 - R^3} = e^{4\rho_{\alpha}} \int_{\rho_{\alpha}} (1 + \tau w) B^{-1/2} e^{-1s} ds \qquad (2.6)$$

где ра— значение аргумента, при котором удовлетворяются соответствующие граничные условия.

Так как в силу введения неизвестной постоянной с внешняя кромка пластинки становится неизвестной, то для системы (2.2) можно решить задачу Коши. В качестве начальных условий служат значения искомых функций в центре пластинки W, и v. Численное интегрирование системы (2.2) продолжается до того значения аргумента Pa, при котором одновременно удовлетворяются соответствующие граничные условия. В отличигот случая отсутствия объемных сил для этого необходимо повторить численное интегрирование при разных начальных значениях для W. Так как безразмерная нагрузка 4 в себе содержит неизвестную постоянную

c=Ke, то после определения ρ_n можно вычислить значения действительной нагрузки q. Так как центру пластинки соответствует бесконечно большое значение аргумента $\rho=\infty$ то для реализации численного интегрирования необходимо предварительно выяснить асимптотическое поведение решения при стремлении ρ к бесконечности и определить значения σ , и и для конечного, достаточно большого ρ_o . Безразмерную скорость прогиба ω для больших ρ ищем в виде

$$w = w_0 \left(1 - e^{-x} \right) \tag{2.7}$$

Подставляя это выражение в систему уравнений (2.2), замечаем, что для ее удовлетворения при $\mu \to \infty$ необходимо выполнение неравеиства

$$1 < x < \frac{7}{3} \tag{2.8}$$

Имея ввиду это условие, приходим к следующему алгебранческому уравнению четвертой степени относительно х:

$$2a_{1}^{2}x^{4} + (7a_{1}a_{1} - 11a_{1}^{2})x^{3} + (21a_{1}^{2} + 6a_{3}^{2} + 3a_{1}a_{2} - 30a_{1}a_{3})x^{2} + + (39a_{1}a_{1} + 5a_{2}a_{1} - 9a_{1}a_{2} - 17a_{1}^{2} - 18a_{3}^{2})x + + 5a_{1}^{2} + a_{2}^{2} + 12a_{3}^{2} + 6a_{1}a_{2} - 16a_{1}a_{3} - 8a_{2}a_{2} = 0$$

$$(2.9)$$

Следует заметить, что в это уравнение не входит плотность объемных сил у, в результате чего асимптотическое поведение решения вблизи центра пластинки зависит только от характера анизотропии материала. Системы уравнении (2.2) удовлетворяется для любого значения — Это естественны, так как значение ш, зависит также от граничных условий.

С целью определения интегрирование для разных w_v пока одновременно не удовлетворятся граничные условия задачи.

- 3. Рассмотрим следующие конкретные примеры:
- a) $\sigma_{\rm p}/\sigma_{\rm ss} = 3/2$, $\sigma_{\rm ss}/\sigma_{\rm ss} = 2/3$
- б) изотропный материал
- B) $\sigma_{ar}/\sigma_{az} = 2/3$, = 1

Вычисляя из (1.15) α_0 , α_2 , α_3 , и подставляя их значения в характеристическое уравнение (2.9), получим

a)
$$x = 2.2951$$
; 6) $x = 2$; B) $x = 1.6621$

Остальные три кория для всех перечисленных случаев не удовлетворяют условию (2.8), поэтому отбрасываются. Из (2.7) для поведения решений системы (2.2) в окрестности центра пластники имеем

a)
$$w = w_0 (1 - e^{-2.2951})$$
, $x = 2.2951 w_0 e^{-2.2951}$, $v = -2.2951 \times$

6)
$$w = w_0 (1 - e^{-z_0}), \quad x = 2w_0 e^{-z_0}, \quad v = -4w_0 e^{-z_0}$$
 (3.1)

B)
$$u^{\nu} = (1 - e^{-1}), \quad x = 1.6621 w_0 e^{-1}, \quad v = -1.6621 x$$

Имся в виду (2.7), (3.1) и (2.6), заметим, что в случае а) толщина пластинки в центре становится бесконечно большой, в случае б) принимает определенное ограниченное значение, а в случае в) превращается в нуль.

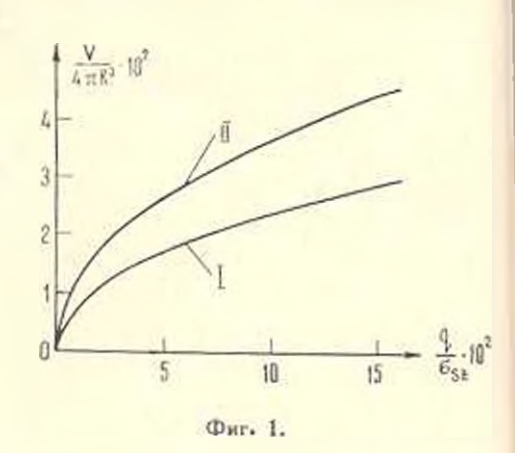
В табл. 1 приведены некоторые результаты решения задачи защемленной по контуру пластинки, несущей равномерно распределенную нагрузку и находящейся под действием объемных сил данной плотности. В последних столбцах таблицы представлены соответствующие графики изменения безразмерной полутолщины пластинки.

Вычисления были проведены также для случая отсутствия объемных сил. Результаты совпали с ранее полученными результатами [4]. В табл. 2

7 R /G _{St} = 0 05, 0 /G _{St} = 0 14.95 V/4 3 R = 0.02806	Наптропная пластинка % R/6 _s =0.05, 0/6 _s =0.0592 V/4 n.R ¹ = 0.02797	$6_{SR}/6_{St}-1$ $7R/6_{St}=0.05$; $9/6_{St}-0.06085$ $V/4\pi R^3=0.02927$
7/8 W X V 182 h/8 = 100	r/R W X V 102 h/R = 100	T/R W X V 182 h/R = 100
0 151 0 0 ~~	0 2.84 0 0 736	0 2.5 0 0 0
0 05 1 51 0 006 0 01 13 16	0.05 2.83 0.02 0.04 8.31	0.05 2.49 0.03 -0.05 5.03
0 1 1 5 0 0 3 - 0 0 6 1 0 . 7 1	U.1 2.01 U.U7 -U 10 0.24	0.1 2.45 0.09 - 0.15 6.21
0.15 1 4 8 0 07 -0 17 9 42		0.15 24 0.17 - 0.3 6.9
0 2 1 45 0.14 - 0.33 8 52	0.2 2 1 0.0 11.01 1.01	0.2 2.33 0.29 - 0.5 7 32
0 25 1 41 0.24 -0.55 7 78	0.25 2 61 0.47 0.99 7 59	0.25 2 26 0.42 - 0.76 7 56
03 136 036 086 7.11		0.3 2,16 0.59 -1.09 7.63
0.35 1 29 0 53 1 28 6 46	8 35 2 38 0 97 - 2 15 6 8	0 35 2.06 0 79 -1.5 7.57
0.4 1 2 0 73 185 5 79	0 4 2 23 1 32 -3 62 6 27	0.4 1.94 1.02 -2 11 7.38
0.45 1.1 0.99 -2 63 5 05	0 45 2 05 1 73 -4 21 5.64	0.45 1.8 1.29 -2.68 7.05
0.5 0.98 1.33 -382 4.18	C - 151 2.20 Mar 2.00	0.5 1.65 1.62 -3.57 6.58
0.55 0.84 1.78 -6.04 3.06	0 55 1.59 2.95 -8 89 3 86	0.55 1.48 2.01 -4.82 5 94
0.6 0.65 2.59 -18 3 1.07	0.6 1.3 3.98 -16.2 2 43	0.6 1.28 2.51 -6.76 5.08
0.607 0 62 2.93 7 2 0	0.632 1 06 5.46 + 2 0	0.65 1.06 3.18 -10.5 3.9
0.65 0.46 2.11 6.38 2.71	0.65 0.92 4.52 19.8 1.83	0.7 0.79 4.32 -25.4 1 93
0.7 8.32 17 4.94 4.9	0.7 0.63 3.49 (1.1 3.55)	0.715 0 69 5 19 7 8 0
0.75 0.21 137 4.64 5.0		0.75 0 48 3 65 19 3 2 99
0.8 0.13 1.07 4 65 5.87	0.8 0.26 2.16 9.47 5.62	0 8 0 28 2 62 13.9 4 67
0.85 0 08 0.79 4.8 6.65	0.85 0.14 1.59 9.62 6.44	0.85 0.15 1.83 12 3 5.94
0.9 0.04 0.51 5.03 7.37	0.9 0.07 1.03 9.94 7.21	0 3 0.00 1 1 11.0 7 04
0.95 0 02 0.23 5.3 8.06	0.95 0.03 0.48 10.3 7.94	0.95 11 02 0.53 11.2 8.04
10 0 5.55 8.61	1.0 0 0 10.7 8.57	10 0 0 11 18.95

представлены некоторые значения объема пластинки в зависимости от нагрузки при фиксированном значении $\gamma R/\sigma_{xx}$. На основе этих данных на фиг. 1 построены графики зависимости безразмерного объема пластии-

				Таблица 2
•	$a_{a}, a_{a} = 3.2$ $a_{a}, a_{a} = 2/3$ $a_{a}, a_{a} = 2/3$ $a_{a}, a_{a} = 0.05$		Изотронная пластинка 7 R о 0.05	
	102910	10º V 4-R3	10 ² q 2,	10°V/4πR3
	0	0	0	0
	0.98	0.79	1.09	1.32
	4.39	1.60	4.40	2.49
	7.39	2.05	7.45	3.20
	11.92	2,60	12.05	4.01
	14.95	2.89	15.13	4.49



ки V/4= R^3 от величины безразмерной интенсивности нагрузки q/4 где 1 кривая соответствует случаю а). 11 — случаю б).

ԾԱՎԱԼԱՅԻՆ ՈՒԺԵՐԻ ԴԱՇՏՈՒՄ ԱՇԽԱՏՈՂ ԻԴԵԱԼԱԿԱՆ–ՊԼԱՍՏԻԿ ՕՐՔՈՏՐՈՊ ՆՅՈՒԹԻՑ ՄԻՆԻՄԱԼ ԾԱՎԱԼԻ ԿԼՈՐ ՍԱԼԸ

Վ. Ն. ՄԻՆԱՍՅԱՆ

Ամփոփում

Որոշվում է ծավալային ուժերի դաշտում աշխատող, իզևալական-պլաստիկ օրքոտրոպ նյունից պատրաստված, մինիմալ ծավալի կլոր սալի Տաստունյունը։

խնդիրը բերվում է սալի ձկվածքի փոփոխման համար եղբային խնդրի ոչ դծային ինտեղբուդիֆերենցիալ հավասարման համար եղբային խնդրի լուծմանը։

ROUND PLATE OF MINIMUM VOLUME MADE OF AN IDEAL PLASTIC ORTHOTROPIC MATERIAL OPERATING IN THE FIELD OF ACTION OF VOLUMETRIC FORCES

V. N. MINASIAN

Summary

The variable thickness of a minimum volume round plate, made of an ideal plastic orthotropic material, operating in the field of volumetric force is defined.

The problem is reduced to the solution of boundary problem for the nonlinear integrodifferential equation in relation to the velocity of deflection of the plate.

ЛИТЕРАТУРА

- 1. Шила Р. Методы оптимального проектирования конструкций. Сб. Механика. 1952. 2 (72), с. 148—159.
- 2. Хил. Р. Математическая теория пластичности, М.: ГИТТА, 1967.
- 3. Ильюшин А. А. Пластичность. М.—Л.: Гостехиздат, 1948.
- Киракосян Р. М., Минасян В. Н., Саркисян М. С. О проектировании однослайной круглой орготропной пластинки наименьшего объема в стадии предельного равновесия. Всесоюзная конференция «Проблемы оптимизации и надежности в строительной механике», Тезисы докладов, Вильнюс, май 1979, с. 70—71.
- Аурье К. А., Черкаев А. В. О применении теоремы Прагера к задаче оптимального проектирования тонких пластии.— Изв. АН СССР, МТТ, 1976, № 6, с. 157—159.
- Рейтнан М. И., Шапиро Г. С. Оптимальное проектирование деформируемых твердых тел Итоги науки и техники. Механика деформируемого твердого тела. № 12, М : ВИНИТИ, 1978.
- 7. Арман Ж.-Л. П. Приложения теории оптимального управления системами с распределенными нараметрами к надачам оптимизации конструкций. М.: Мир. 1977.
- 8. Megarefs G. J. Method for minimal design of axisymmetric plates.- ASCE, 1966, v. 92, No. 6, p. 79-99.

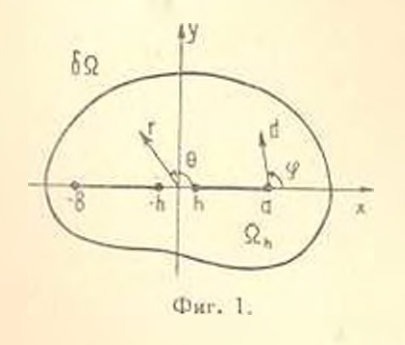
Институт механики АН Армянской ССР Поступила в редакцию 25. VI, 1981

ИЗМЕНЕНИЕ КОЭФФИЦИЕНТА ИНТЕНСИВНОСТИ ПРИ РАЗРУШЕНИИ ПЕРЕМЫЧКИ МЕЖДУ ДВУМЯ КОЛЛИНЕАРНЫМИ ТРЕЩИНАМИ

НАЗАРОВ С. А., РОМАШЕВ Ю. А.

В настоящей работе рассматривается плоская задача классической теории упругости для области Ω , ослабленной двумя разрезами, расположенными на одной прямой, и находящейся под действием произвольной внешней нагрузки. Предполагается, что длина 2h перемычки между этими трещинами мала. При помощи решений задачи в области Ω с разрезом, образованным слиянием двух первоначальных трещии, и задачи на плоскости R° , ослабленной двумя полубссконечными разрезами, конструируется асимптотика решения исходной задачи. Исследуется аналитическая зависимость от // коэффициентов интенсивности напряжений в вершинах трещин, имеющая вид $d_1+d_2(\log h+C)^{-1}+O(h)$ в дальних концах и $d_h h^{-1/2} (\log h + C)^{-1} + O(h^{1/4})$ в банжних. Такая зависимость от h связана с неразрешимостью в классе убывающих функций предельной задачи для внутреннего разложения. Поэтому для сращивания асимитотик необходимо [1, 2] привлечь догарифмически растушие решения однородных предельных задач. Указанные решения и принодят к позникновению $\log h$ в представлении приближенного решения задачи.

1. Постановна задачи. Пусть Ω — либо плоскость R^1 , либо подобласть R^2 с гладкой (класса C^2) границей, содержащая отрезок $M = \{x_1, x_2\} \in R^2$: $x_1 \in [-b, a]$, где a, b — положительные



$$\Delta u^{h} + (1-2v)^{-1} \nabla \nabla u^{h} = 0$$
 B Ω_{h} (1.1)

$$\sigma_{n}(u^h) = T_n, \ \tau_{nn}(u^h) = T_n \text{ Ha } \partial \Omega_h \ \ (1.2)$$

где u — нектор смещения. $|z_{...}(u)|$ — тензор напряжений: T — вектор

Если область 32 не ограничена, то условия на бесновечности понимаются в смысле принадлежности эпергетическому классу.

внешней нагрузки, n — внутренняя нормаль, s — координата на $\partial \Omega_{-}$ Предположим, что главный нектор и главный момент внешней нагрузки равен нулю при любом h. Тогда существует решение u задачи (1.1). (1.2), единстненное с точностью до смещений и поворота Ω_{h} как жесткого тела. Построим асимптотику решения u^{h} при h - 0. Для этого будет использовав алгоритм работы [1], в которой изучена асимптотика решений влаиптических в смысле A. Дуглиса — A. Ниренберга краевых задач в областях с нерегулярно возмущенной границей.

2. Построение асимптотики. В качестве основного приближения к u^{π} естественно выбрать решение u^{π} задачи

$$\Delta u^{\circ} + (1 - 2v)^{-1} \nabla \nabla \cdot u^{\circ} = 0 \quad \text{B} \quad \Omega_{0}$$
 (2.1)

$$\sigma_{\alpha x}(u) = T_x, \quad \sigma_{\alpha \alpha}(u) = T_\alpha \quad \text{Ha} \quad \partial \Omega_0$$
 (2.2)

$$w(\xi) \rightarrow u^+ = u^\circ(0, +0)$$
 при $|\xi| \rightarrow \infty$, $\xi_2 > 0$
 $w(\xi) \rightarrow u^- = u^\circ(0, -0)$ при $|\xi| \rightarrow \infty$, $\xi_2 < 0$ (2.3)

Нетрудно проверить, что при $u \neq u^-$ такого поля не существует. Дело в том, что для векторного поля w с нечетной (по \mathfrak{t}_2) первои компонентой (или вечетной второй компонентой), удовлетворяющего перечисленным выше условиям и допускающего оценку O(1) при $|\mathfrak{t}| - \infty$, справедливы равенства $w_1 = 0$, $w_2 = \mathrm{const}$ (или соответственно $w_1 = \mathrm{const}$, $w_2 = 0$). Однако существуют вектор-функции Γ^1 и Γ^2 такие, что

$$\Delta\Gamma' + (1 - 2v)^{-1} \nabla \nabla \cdot \Gamma' = 0 \quad \text{B} \quad \Pi$$

$$\sigma_{12}(\Gamma') = \sigma_{22}(\Gamma') = 0 \quad \text{Ha} \quad \partial \Pi$$

$$\Gamma'_{k}(\sigma_{1}, \, \xi_{2}) = (-1)^{\bar{\sigma}_{jk}} \Gamma'_{k}(\Gamma_{1}, \, -\xi_{2}), \, \xi \in \Pi, \, j, \, k = 1, \, 2$$
(2.4)

и растущие на бесконечности не быстрее любой положительной степени $\rho^2 = \xi_1 - \xi_2$. Матрица $\Gamma = \| \Gamma_k \|$ отличается постоянным множителем от матрицы Грина для задачи классической теории упругости,

полюсы расположены в точках $(\infty, +\infty)$ и $(\infty, -\infty)$, и допускает при t > 0, $\rho - +\infty$ асимптотическое представление

$$\Gamma(\varepsilon) = (1 - \gamma)^{-1} T(\varepsilon, \theta) / 2 + \gamma + O(\varepsilon^{-1})$$
 (2.5)

Здесь (— полярный угол из интернала (— т. т.), т = 17.1 — постоянная матрица,

$$\overline{T}(\gamma,\theta) = \begin{pmatrix} 2(1-\gamma)\log\gamma + \sin^2\theta, & -(1-2\gamma)\theta - \sin\theta\cos\theta\\ (1-2\gamma)\theta - \sin\theta\cos\theta, & 2(1-\gamma)\log\gamma + \cos^2\theta \end{pmatrix}$$
 (2.6)

Асимптотику вектор-функции n и h -окрестности точки (0, 0) будем искать и виде

$$u^{b}(x) \sim A_{1}\Gamma^{1}(h^{-1}x) + A_{2}\Gamma^{2}(h^{-1}x) + (B_{1}, B_{2})$$
 (2.7)

где A_i и B_i — некоторые постоянные, подлежащие определению. Так как правая часть формулы (2.7) содержит логарифмически растущее слагаемое, то для описания асимптотики u вне V h-окрестности точки (0, 0) вектора u недостаточно. Введем матрицу G_i каждый столбец которой удовлетворяет однородным уравнениям (2.1) в $\mathfrak{Q}_0 \setminus \{0, 0\}$ и однородным граничным условиям (2.2) на $\partial \mathfrak{Q}_0 \setminus \{0, 0\}$. Пусть еще G допускает асимптотическое представление

$$G(x) = \pm (1 - v)^{-1} T(r, \theta)/2 + g^{\pm} + O(r), \quad r^2 = x_1^2 + x_2^2 \rightarrow 0, \quad \pm x_2 > 0$$

Столбец G^* реализуется как некторное поле смещений в Ω_0 под действием симметричных нормальных сосредоточенных в точках (0, +0) и (0, -0) нагрузок, а G^1 как векторное поле смещений в Ω_0 под действием антисимметричных касательных сосредоточенных нагрузок, приложенных к точкам (0, +0) и (0, -0).

Вне V h-окрестности точки (0, 0) асимптотику вектор-функции u^{*} будем искать в виде

$$u^{h}(x) \sim D_1 G^1(x) + D_2 G^2(x) + u^{-1}(x)$$
 (2.9)

Найдем постоянные A_{II} B_{II} и D_{II} , j=1,2, из условия сонпадения асимптотик (2.7) и (2.9) вектора u^{n} я зоне r=1 h. Рассмотрим, папример, компоненту u_{1} при $x_{2}>0$. Правая часть выражения (2.9) принимает вид

$$u_1^+ + D_1 (\log r + (1 - v)^{-1} \sin^2 \theta/2) - D_2 (1 - v)^{-1} [(1 + 2v)\theta + \sin \theta \cos \theta]/2 + D_1 g_1^{1} + O(Vh)$$
(2.10)

а праная часть (2.7) — вид

$$B_1 + A_1 (\log r + (1 - v)^{-1} \sin^2 \theta/2) - A_2 (1 - v)^{-1} [(1 - 2v)\theta + \sin \theta \cos \theta]/2 + A_1 (\gamma_1^1 - \log h) + A_1 + O(1/h)$$
 (2.11)

Необходимым условием совпадения главных членов в (2.10) и (2.11) являются равенства $A_j = D_{t_0}$ j = 1, 2. Приравнивая останциеся постоянные, получим ураняение

$$A_1(-\log h + \gamma_1^1 - g_1^{-1}) - A_1(1 - g_1^{2}) - B_1 = u_1^*$$
 (2.12)

Апалогично, рассматривая u_1 при $x_2 = 0$ и u_2^A при $x_3 = 0$ или при $x_3 = 0$, имеем

$$A_{1}(\log h - \gamma_{1}^{1} - g_{1}^{1,-}) + A_{2}(\gamma_{1}^{2} - g_{1}^{2,-}) + B_{1} - u_{1}$$

$$A_{1}(\gamma_{2}^{1} - g_{2}^{1,+}) + A_{1}(-\log h + \gamma_{2}^{2} - g_{2}^{2,+}) + B_{1} = u_{1}$$

$$A_{1}(\gamma_{2}^{1} - g_{2}^{1,-}) + A_{2}(\log h - 1 - g_{2}^{2,-}) + B_{2} = u_{2}^{-}$$

$$(2.13)$$

Решением пагебранческой системы (2.12), (2.13) яканются постоянные

$$A_{1} = \{(u_{1}^{-} - u_{1}^{+}) P_{1}(h) - (u_{1}^{-} - u_{1}^{+}) Q_{1}\} (P_{1}(h) P_{2}(h) - Q_{1}Q_{2})^{-1}$$

$$A_{2} = |(u_{2}^{-} - u_{2}^{+}) P_{1}(h) - (u_{1}^{-} - u_{1}^{+}) Q_{21} (P_{1}(h) P_{2}(h) - Q_{1}Q_{2})^{-1}$$

$$B_{1} = \{u_{1}^{+} + u_{1}^{-} + (g_{1}^{1} + g_{1}^{1}) A_{1} + (g_{1}^{2} + g_{1}^{2} - 2\eta_{1}^{2}) A_{2}\}/2^{(2.14)}$$

$$B_{1} = \{u_{2}^{+} + u_{2}^{-} + (g_{2}^{1} + g_{2}^{1} - 2\eta_{1}^{2}) A_{1} + (g_{2}^{2} + g_{2}^{2} - 2\eta_{1}^{2}) A_{2}\}/2^{(2.14)}$$

rac

$$P_1(h) = 2\log h - 2\gamma_1^1 + g_1^1 - g_1^1 - g_1^1 - Q_1 = g_1^1 + g_1^2 - g_1^2 - Q_2 = g_2^1 - g_2^1 -$$

3. Асимптотика смещений $\mathfrak a$. Выберем в качестве асимптотического решения задачи (1.1), (1.2) вектор-функцию U^* , определяемую равенствами

$$U^{h}(x) = \mathcal{I}_{1}(rh^{-1}) \left[u^{-1}(x) + A_{1}G^{1}(x) + A_{2}G^{1}(x) \right] +$$

$$+ \mathcal{I}_{2}(r) \left[(B_{1}, B_{2}) + A_{1}\Gamma^{1}(xh^{-1}) + A_{2}\Gamma^{2}(xh^{-1}) \right] -$$

$$- \mathcal{I}_{1}\left(\frac{r}{h}\right) \mathcal{I}_{2}(r) \begin{bmatrix} M_{1} \\ M_{2} \end{bmatrix}$$
(3.1)

TAC

$$M_1 = (1 - v)\{A_1T^1(r, \theta) + A_2T^2(r, \theta) | /2 + A_2g^{1-v} + A_2g^{2-v} + u \}$$

$$\text{IIDM } x_0 > 0$$

$$M_1 = (\gamma - 1) \{A_1 T^1(r, -6) + A_2 T^2(r, -6)\}/2 + A_1 g^{1, -} + A_2 g^{2, -} + u$$

HERE $x_1 < 0$

 $\mathbf{S}_{\mathbf{A}}$ есь $\mathbf{Z}_{\mathbf{1}}$ и $\mathbf{Z}_{\mathbf{1}}$ — срезающие функции из $\mathbf{C}^{\top}(\mathbf{R}^{i})$ такие, что

$$V_1(t) = \begin{cases} 1 & \text{при } t > 4, \\ 0 & \text{при } t < 2, \end{cases}$$
 $V_1(\frac{t}{\min(a, b)}) = \begin{cases} 0 & \text{при } t > 1/2, \\ 1 & \text{при } t < 1/4, \end{cases}$

Из результатов работ [1], [4] яытекает Теорема 1. а) Справедливо неравенство

$$\int\limits_{\Omega_h} \varepsilon_{ij} (u^h - U^h) \, \varepsilon_{ij} \, (u^h - U^h) \, dx < ch^2$$

в котором постоянная с не вависит от h, а u'— любое решение задачи (1.1), (1.2).

б) Выполняется оценка

$$\max |R_h(x) \circ_{ij} (u^h - U^h)| \leqslant c(k) h, \ ij = 1, 2$$
 (3.2)

где $R_h^b(\mathbf{x}) = \min\{1, d_1^{(1+b)/2}, h+r, [hd_3(h)]^{(1+b)/2}\},$ $d_1, d_2, r, d_3(h), d_4(h) = paccmoshus om точки <math>\mathbf{x}$ ло точек (-b, 0). (a, 0), (0, 0), (-h, 0) и (h, 0) соответственно; b = b произвольное положительное число; постоянная c(b) зависит от b, но не от b.

в) Предположим, что векторы и' и Uh подчинены условиям

$$\int_{\Omega_h} (u^h - U^h) dx = 0, \quad \int_{\Omega_h} \operatorname{rot} (u^h - U^h) dx = 0$$
 (3.3)

Тогла имеет место формула

$$\max |u^h - U^h| \leqslant ch$$

Здесь постоянная с не зависит от 11.

Отметим, что неравенство (3.2) означает, что вне фиксированных окрестностей точек (0, 0), (- b, 0) и (a, 0) модуль разности напряжений, построенных по векторам u^{\dagger} и U^{n} есть величина O(h),

Формула (3.1) содержит рациональные функции от log h. Асимптотические разложения такого вида в задачах о малых возмущениях граинцы области возникали в работах [5], [2]. Асимптотика решений эллиптических систем в областях с малыми локальными возмущениями границы получена в [1].

4. Асимптотика коэффициентов интенсивности. Выведем на формулы (3.1) для приближенного решения U' задачи (1.1), (1.2) асимптотику по h коэффициентов интенсивности смещений u' в вершинах трещин. Достаточно рассмотреть лишь правую трещину, то есть точки (a, 0) и (h, 0).

Обозначим через $K_a(V)$, $j=1,\;2,\;$ коэффициенты в асимптотике вектора смещений

$$V(x) = {C_1 \choose C_2} - K^{\frac{1}{2}}(V) \frac{1}{\mu} \sqrt{\frac{d}{2\pi}} \left(\frac{\cos(\varphi/2)(1 - 2\nu + \sin^2(\varphi/2))}{\sin(\varphi/2)(2 - 2\nu - \cos^2(\varphi/2))} \right) + K^{\frac{1}{2}}(V) \frac{1}{\mu} \sqrt{\frac{d}{2\pi}} \left(\frac{\sin(\varphi/2)(2 - 2\nu + \cos^2(\varphi/2))}{\cos(\varphi/2)(1 - 2\nu + \sin^2(\varphi/2))} \right) + O(d), \quad d \to 0 \quad (4.1)$$

где c = const.(d, v) — полярная система координат с центром и гочке (a, 0) такая, что берега разреза M задаются уравнениями $\varphi = \pm \pi$.

Обозначим ковффициенты в разложении V вида (4.1) вблизи точки (h, 0) через $K_h^1(V)$ и $K_h^2(V)$. Еще понадобятся коэффициенты $K_1(\Gamma')$ для вскторов Γ^1 (t) и Γ^2 (t) в точке (1, 0).

Следствием теоремы 1 является

Теорема 2. Справедливы формулы

$$K_a^j(u^h) = K_u^j(U^h) + A_1K_a^j(G^1) + A_2K_a^j(G^2) + O(h)$$

$$K'_h(u^h) = h^{-1/2} \{ A_1 K_1'(\Gamma^1) + A_2 K_1'(\Gamma^2) \} - O(h^{1/2})$$

Злесь = 1, 2; постоянные A_1 и A_2 определены равенствами (2.14), (2.15).

Аналогичные формулы имсют место и для коэффициентов интенсивности в точках (-b, 0) и (-h, 0). Для того, чтобы получить их из (4.2) нужно заменить \widetilde{K}_1 на K_{-1} , а индекс a на -b.

5. Построение матрицы Г. В этом разделе будет найдена матрица Г, столбцы которой являются решениями задач (2.4), и числовая матрица ү из формулы (2.5). При этом используется метод построения однородных решений задач теории упругости, приведенный в [6]. А именно, рассматривается задача

$$\varphi(z) + z\overline{\varphi'(z)} + \psi(z) = iN\Theta(x_1), \ z \in \partial \Pi$$
 (5.1)

где $z=r_1+ix_2$, φ , φ — функции Турса, Θ — функция Хевисайда, а N — некоторая комплексная постоянная. При помощи преобразования Жуконского $2z=\zeta+\frac{1}{2}$ перейдем* из области Π в верхнюю полуплоскость C комплексной переменной $\zeta\in C$. Задача (5.1) в переменных $\zeta_1,\ldots,\zeta_{2n}$ перепищется в виде

$$\varphi_*(\zeta) + \overline{\psi_*(\zeta)} = \begin{cases} iN, & \zeta_1 > 0, & \zeta_2 = 0 \\ 0, & \zeta_1 < 0, & \zeta_2 = 0 \end{cases}$$
(5.2)

Здесь

$$\varphi_{*}(\zeta) = \varphi(z(\zeta)),$$

$$\varphi_{*}(\zeta) = \varphi(z(\zeta)) + \varphi'(\zeta)(\zeta^{2} + 1)(\zeta^{2} - 1)^{-1}\zeta$$
(5.3)

Рсшением задачи (5.2) янляются функции

$$\tau_*(\zeta) = -\frac{N}{2\pi} \log \zeta + S_1, \quad \star_*(\zeta) = \frac{N}{2\pi} \log \zeta + S_2$$
 (5.4)

где S_1 , S_1 — произнольные комплексные постоянные такие, что S_1 + + S_2 = iN. Из (5.3) и (5.4) следует

При этом няжний борег разрема $\{x \mid \mathbb{R}^3: x_2 \mid 0, |x_3>1\}$ трансформируется в отрелок $\{C: \mid 0, |1\}$ а верхний переходит в себя

$$\psi(z) = -(2\pi)^{-1} N \log(z + \sqrt{z^{2} - 1}) + S_{1}$$

$$\psi(z) = \frac{\overline{N}}{2\pi} \log(z + \sqrt{z^{2} - 1}) + \frac{Nz}{2\pi\sqrt{z^{2} - 1}} + S_{2}$$

Используя соотношения между компонентами смещений W_1 , W_2 и функциями Гурса, получии

$$W_{1} = \frac{1}{4\pi\mu} \left\{ -(1+x) N_{1} \log |z+1| \overline{z^{2}-1} | + 2N_{1}x_{2} \operatorname{Im} \frac{1}{\sqrt{z^{2}-1}} + 2N_{2}x_{2} \operatorname{Re} \frac{1}{\sqrt{z^{2}-1}} + N_{2}(x-1) \operatorname{arg}(z+1|\overline{z^{2}-1}) \right\} + \frac{1}{2\mu} \left\{ -(1+x) N_{2} \log |z+1| \overline{z^{2}-1} | -2N_{2}x_{2} \operatorname{Im} \frac{1}{|z^{2}-1|} + 2N_{1}x_{2} \operatorname{Re} \frac{1}{\sqrt{z^{2}-1}} - N_{1}(x-1) \operatorname{arg}(z+\sqrt{z^{2}-1}) \right\} + \frac{1}{2\mu} \left\{ -(1+x) N_{2} \log |z+1| \overline{z^{2}-1} | -2N_{2}x_{2} \operatorname{Im} \frac{1}{|z^{2}-1|} + \frac{1}{2\mu} \left[x \operatorname{Im} S_{1} + \operatorname{Im} S_{2} \right] \right\}$$

$$+ 2N_{1}x_{2} \operatorname{Re} \frac{1}{|z^{2}-1|} - N_{1}(x-1) \operatorname{arg}(z+\sqrt{z^{2}-1}) \right\} + \frac{1}{2\mu} \left[x \operatorname{Im} S_{1} + \operatorname{Im} S_{2} \right]$$

где μ — коэффициент Ламе, $\kappa=3-4\nu$. Правые части выражений (5.5) зависят от трех комплексных постоянных: $N=N_1+iN_2$, S_1 и S_2 . Выбирая их надлежащим образом, нолучим выражения для компонент матрицы Γ :

$$(\Gamma_1^1, \Gamma_2^1) = (W_1, W_2) \text{ при } N = -\frac{\pi \mu}{1 - \nu}, \quad S_1 = -\frac{\pi \mu}{(1 - \nu)(\nu + 1)}$$

$$S_2 = \frac{\pi \mu \nu}{(1 - \nu)(\nu + 1)}$$

$$(\Gamma_1^2, \Gamma_2^2) = (W_1, W_2) \text{ при } N = -\frac{\pi \mu}{1 - \nu}, \quad S_1 = \frac{\pi \mu}{(1 - \nu)(\nu + 1)}$$

$$S_2 = \frac{\pi \mu \nu}{(1 - \nu)(\nu + 1)}$$

$$S_3 = \frac{\pi \mu \nu}{(1 - \nu)(\nu + 1)}$$
(5.6)

Сравнивая (5.6) с асимптотической формулой (2.5), получим

$$\gamma_1^1 = \log 2; \quad \gamma_1^2 = \gamma_1^1 = 0; \quad \gamma_1^2 = \log 2 - 1/2(1 - v)$$
 (5.7)

Кроме того, вычисляя коэффициенты интенсивности K_1^2 (Γ^2) векторов Γ^1 и Γ^2 в точке (1, 0), имеем

$$\widetilde{K}_1^2(\Gamma^1) = \widetilde{K}_2^1(\Gamma^2) = \frac{\sqrt{\pi \mu}}{1 - \nu}; \quad \widetilde{K}_1^1(\Gamma^1) = \widetilde{K}_1^2(\Gamma^2) = 0$$
 (5.8)

6. Две трещины в плоскости. Пусть Ω — плоскость R^2 . При помощи формул, приведенных в книге [7] § 2, гл. XI, построим матрицу G (см. п. 2 и (2.8)). Ее столбец G^1 (или G^2) является решением залачи о трещине M под действием касательных антисимметричных (или нормальных симметричных) нагрузок, сосредоточенных в точке Ω . Введем функции комплексного аргумента z:

$$Z(z) = -\mu | \overline{ab} (1 - v)^{-1} z^{-1} (z^{2} - z(a - b) - ab)$$

$$Z^{0}(z) = -\frac{i\mu}{1 - v} \left[-\log z - \log (a + b) + i \arctan \frac{2 | ab}{a - b} + i \arctan \frac{2 | ab}{a - b} + i \arctan \frac{2 | ab}{a - b} \right]$$

$$+ \log \left[-2 | ab | \overline{ab + (a - b) z - z^{2}} + 2ab | z(a - b) \right]$$

$$(6.1)$$

Эти функции исчезают на бесконечности и связаны соотношением $Z=dZ^0/\partial z$. Положим

$$G = \frac{1}{2\mu} \begin{pmatrix} 2(1-\nu) \ln Z^0 + y \operatorname{Re} Z, & (1-2\nu) \operatorname{Re} Z^0 - y \operatorname{Im} Z \\ -(1-2\nu) \operatorname{Re} Z^0 - y \operatorname{Im} Z, & 2(1-\nu) \operatorname{Im} Z^0 - y \operatorname{Re} Z \end{pmatrix}$$
 (6.2)

Сопоставляя формулы (6.1), (6.2) с асимптотическим представлением (2.8) матрицы G, получим, что компоненты числовых матриц g^{\pm} задаются равенствами

$$g_1^{1,-} = -g_1^{1,-} = -\log\frac{4ab}{a+b}, \quad g_2^{2,-} = -\log\frac{4ab}{a+b} - \frac{1}{2(1-\nu)}$$

$$g_2^{1,-} = -g_1^{2,-} = -g_1^{2,-} = g_2^{2,-} = \frac{1-2\nu}{2(1-\nu)} \operatorname{arctg} \frac{2|\sqrt{ab}}{a-b}$$
(6.3)

Кроме того, вычисляя коаффициенты интенсивности $K_a(G^p)$ векторов G^1 и G^2 в точке (a,0), имеем

$$K_{\alpha}^{2}(G^{1}) - K_{\alpha}^{1}(G^{2}) = -\frac{1^{4}}{1-\nu} \sqrt{\frac{2\pi b}{a(a+b)}}, \quad K_{\alpha}^{1}(G^{1}) = K_{\alpha}^{2}(G^{2}) = 0 \quad (6.4)$$

Итак, для того, чтобы воспользоваться формулами (3.1) и (4.2) для асимптотики решения и коэффициентов интенсивности напряжений, необходимо найти значения u (см. формулы (2.3), (2.14), (2.15)). Для определенности рассмотрим задачу о растяжении трещин [-b,-h] и [h,a] нормальной симметричной нагрузкой $q \in C([-b,a])$. Тогда [7] справедлино представление

$$u = \frac{1}{2\mu} \left((1 - 2v) \operatorname{Re} \widetilde{Z^{0}} - y \operatorname{Im} \widetilde{Z} \right)$$

$$2(1 - v) \operatorname{Im} \widetilde{Z^{0}} - y \operatorname{Re} \widetilde{Z}$$
(6.5)

$$\widetilde{Z}(z) = \frac{1}{\pi + (z-a)(z+b)} \int_{-b}^{1} \frac{q(\xi) + (a-\xi)(b+\xi)}{z-\xi} dx$$

$$\widetilde{Z}^{0}(z) = \frac{i}{\pi} \int_{-a}^{1} q(\xi) \left| \log h \left\{ \frac{2(a-1)(\xi+b)}{z-\xi} - 2\xi + a - b - 2\xi + a - b - 2\xi + a - b \right\} \right| d\xi$$

$$-2((a-\xi)(b+\xi)((a-\xi)(b+\xi)(z-\xi) - 2\xi + a - b) \left| d\xi \right|$$

Вектор и нычисляется как предел правой части равенства (6.4), при $z \to \pm i0$. Отметим, что $u^- = u_1$.

Припедем, наконец, выражение для коэффициентов интенсивности в вершинах трещии [h, a] и [-b, -h] и при постоянной нагрузке $q(x) = q^b$. Из формул (2.14), (2.15), (4.2), (5.7), (5.8), (6.3) и (6.4) получим

$$K_a^1 = q^a \sqrt{-\frac{a+b}{2}} \left[1 + \frac{2b}{a-b} \left(\log \frac{8ab}{h(a+b)} \right)^{-1} \right] + O(h)$$
 (6.6)

$$K_h^1 = q^a \sqrt{-\frac{ab}{h} \left(\log \frac{8ab}{h(a+b)}\right)^{-1}} + O(1/\overline{h})$$
 (6.7)

$$K_{-b}^{1} = q^{0} \sqrt{\pi \frac{a+b}{2}} \left\{ 1 + \frac{2a}{a+b} \left(\log \frac{8ab}{h(a+b)} \right)^{-1} \right\} + O(h)$$
 (6.8)

$$K_{-k}^{1} = q^{3} \sqrt{\pi \frac{ab}{h}} \left(\log \frac{8ab}{h(a+b)} \right)^{-1} + O(\sqrt{h})$$
 (6.9)

7. Некоторые замечания:

i) В случае $2=R^*$ и трещин одинаковой длины (то есть a=b) известны [8], [9] точные формулы для коэффициентон интенсивности

$$K_s^1 = q^0 \sqrt{\frac{\pi a}{s}} \left(1 - \frac{E(s)}{K(s)}\right)$$
 (7.1)

$$K^{1} = a^{2} \frac{a^{2} E(s) K(s)^{-1} - h^{2}}{h^{2}}$$
 (7.2)

где $s = [1 - ha^{-2}]$; K, E — полные эллиптические интегралы перного и второго рода. Используя асимптотические предстапления [10], с. 919, для этих интегралов, находим

$$\frac{E(s)}{K(s)} = \frac{1}{\log(4ah^{-1})} + O(h^2\lceil\log h\rceil)$$

Отсюда нидно, что выражения в (6.6) и (6.7) являются асимптотиками величин (7.1) и (7.2) даже с повышенными точностями $O(h^2 | \log h|)$ и

 $O(h^{3/2}|\log h|)$, соответственно. Отметим, что в случае несимметричной области Ω оценки O(h) и $O(\sqrt{h})$ в формулах (6.6)—(6.9) точны.

ii) При определении асимптотих существенно использопалась удаленность трещин от внешнего контура на конечное (независящее от h) расстояние. В случае, когда расстояние от вершин (-b,0) и (a,0) трещины имеет порядок O(h), то в их окрестности необходимо использовать аналогичную схему сращивания. Для задачи кручения цилиндрической области с продольной трещиной, близко расположенной к границе, асимптотика решения найдена в [11]. Общая схема построения асимптотических разложений приведена в [1].

ԵՐԿՈՒ ԿՈԼԻՆԵԱՐ ՃԱՔԵՐԻ ՄԻՋԵՎ ՄԻՋՆՈՐՄԻ ՔԱՅՔԱՅՄԱՆ ԺԱՄԱՆԱԿ ԻՆՏԵՆՍԻՎՈՒԹՅԱՆ ԳՈՐԾԱԿՏԻ ՓՈՓՈՒՈՒԹՅՈՒՆԸ

Ս. Ա. ՆԱԶԱՐՈՎ, ՅՈՒ. Ա. ՌՈՄԱՇԽՎ

Ամփոփում

Դիտարկվում է երկու կոլինեար ճաքերով թուլացված Ω տիրույթի հաժար դասական առաձղականության տեսության հարթ խնդիրը, երբ ճաքերի միջև միջնորմենիը բարակ են։ Կառուցվում է խնդրի համար ասիմպատտական լուծում (երբ h - 0)։ Ուսումնասիրվում է ճաքերի գագաթներում գործակիցևնիի ինտենսիվության անալիտիկ կապը h-ից։ Երբ $\Omega = R'$ այդ դեպքում լուծման և գործակիցների համար անալիտիկ կապը h-ից։ Երբ $\Omega = R'$ այդ դեպքում լուծման և գործակիցների համար ստացվել են ակնհայտ բանաձևեր։

THE CHANGING OF STRESS INTENSITY FACTORS BY THE RUPTURE OF A BRIDLE BETWEEN TWO COLLINEAR CRACKS

S. A. NAZAROV, Ju. A. ROMASHEV

Summary

The classical plane elasticity problem for an area Ω , weakened by two collinear cracks, is considered in this paper. The width 2h of the bridle vanishes. An asymptotical (as $h \to 0$) solution of the problem is constructed. The stress intensity factors are investigated as functions of h. The formulae for the solutions and the factors are given in explicit form for $\Omega = R^2$.

ЛИТЕРАТУРА

1. Мазык В. Г., Наваров С. А., Пламеневский Б. А. Об асимптотнке решений эллиптических кранимх задач при нерегулярном возмущения области.— Проблемы математического анализи, 1981. № 8, с. 72—153.

Ильин А. М. Краевая задача эллиптического уравнения второго порядка в области с щелью.
 Область с малым отверстием.— Мат. сборник, 1977, т. 103, № 2, с. 265—284.

- 3. Найфе А. Х. Методы возмущений. М.: Мир. 1976, 456 с.
- 4. Манья В. Г., Пламеневский Б. А. Оценки в L_p и в классах Гельдера и принцип максимума Миранда--Агмона для решений эллиптических краевых задач в об ластях с особыми точками на границе.— Mathematiche Nachrichten, 1978, Bd. 81, в. 25—82.
- 5. Лебедев Н. Н., Скальская И. П. Применение париых интегральных уравнений в влектростатическим задачам для полого проводящего цилипара конечной дли им.— ЖТФ, 1973, т. 43, п. 1, с. 44—51.
- 6. Черепанов Г. П. Механика хрупкого разрушения. М.: Наука, 1974.
- 7. Селов Л. И. Механика сплошнон среды, 7. 2. М. Наука, 1976.
- 8. Мусхелишвили Н. И. Некоторые основные задачи математической тгории упругости. М.: Наука, 1960. 707 с
- 9. Парис П. Си Дж. Анализ напряженного гостояния около трещин. Сб. «Вязкого разрушения», М.: Мир. 1968, с. 64—142
- Градитейн И. С., Рыжик И. М. Таблины интегралов, сумм. рядов и произведений. М.: Наука, 1971. 1108 с.
- Азаларян О. Б. Назаров С. Л. Об изменении коэффициентов интенсивности при запайне продольной трещины в прияматическом стержие. — Докл. АН Арм.ССР, 1981, т. 72. № 1, с. 18—21.

Ленинградский государственный университет им. А. А. Жданова Поступила в редакцию 8, 11, 198!

ՀԱՅԿԱԿԱՆ ՈՍՀ ԳԻՏՈՒԹՅՈՒՆՆԵՐԻ ԱԿԱԳԵՄԻԱՅԻ ՏԵՂԵԿԱԳԻՐ

известия академии наук армянской сср

Մեխանիկա

XXXV, № 4, 1982

Механяка

ИССЛЕДОВАНИЕ ХАРАКТЕРИСТИК ИЗЛУЧЕНИЯ ВИБРИРУЮЩЕГО УПРУГОГО СТЕРЖНЯ, КОНТАКТИРУЮЩЕГО С ПЛАСТИНОЙ, ПОКРЫВАЮЩЕЙ СЛОЙ ЖИДКОСТИ

БОЕВ С. И., КОВАЛЕНКО Е. В.

В настоящее время акустические методы являются однями из основных и вффективных способов изучения фундаментальных физико-механических свойств различных объектов. Возбуждая колебания и анализируя закономерности их распространения, можно получать данные о структуре различных тел, об их механических характеристиках, их строении, исследовать механизмы, вызывающие затухание и изменения скоростей распространения акустических воли.

Объектом исследования данной работы является система, состоящая из вязкоупругой пластинки, покрывающей слой идеальной сжимаемой жидкости, и упругого стержия, жестко сцепленного с пластинкой и возбужлаемого периодически меняющейся во времени силой.

С помощью интегрального преобразования Фурье по продольной координате задача приведена к определению амплитуды давления под стержнем из интегрального уравнения первого рода типа свертки на конечном интервале с гладким ядром, корректно разрешимым лишь в пространстве обобщенных функций медленного роста.

Построены графики характерных виброакустических величии.

1. Рассмотрим следующую задачу о протекании идеальной сжимаемой жидкости в бескопечном плоском трубопроводе, изображенном на фиг. 1. Пусть с деформируемой стенкой трубопровода сцеплен упругий стержень дляны и ширины 2a, подверженный действию периодически изменяющейся во премени нагрузки $Pe^{-i\omega t}$, эксцентриситет приложения которой с. Будем считать, что в процессе колебаний стержня не происходит отслоения стенки трубопровода от жидкости.

В качестве физико-механической модели деформируемой стенки трубопровода взята модель вязкоупругой (динейный закон наследственности) тонкой пластинки Кирхгофа.-Лява [1]

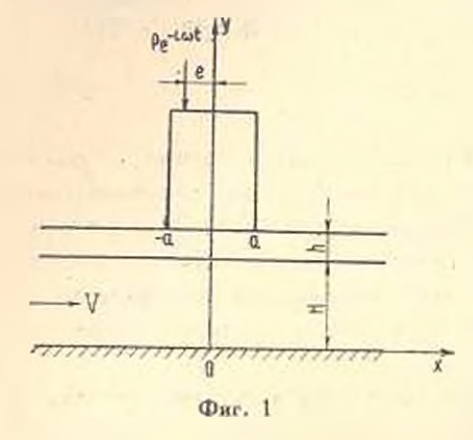
$$Dv^{(4)} - p*h \frac{\sigma v}{\sigma t} = p(x, t) - q(x, t) +$$

$$+ \int_{-\infty}^{t} v^{(4)}(x, t) K(t - t) dt, \quad D = Gh^{3}[6(1 - v)]^{-1}$$
(1.1)

Вдесь v — перемещение точек срединной плоскости по оси y, p(x, t) —

реактивное давление, деиствующее на пластинку со стороны жидкости $q(\mathbf{x},t)$ — контактное давление, отличное от нуля лишь при $|\mathbf{x}| \leq a,h$ — толщина пластинки, ρ^* , $G, \mathbf{v} = \text{const}$ — плотность, мгновенный модуль сдвига и коэффициент Пуассона материала стенки, $K(t-\mathbf{x})$ — ядро релаксации, вид которого будет указан ниже.

Физико-механические свойства жидкости описываются линеаризованными относительно основного потока уравнениями идеальной жидкости при малых числах Маха [2]



$$\Delta \varphi - 2 \frac{M}{c} \frac{\partial^2 \varphi}{\partial t \partial x} - \frac{1}{c^2} \frac{\partial^2 \varphi}{\partial t^2} = 0$$

$$\rho = -\varphi \left(\frac{\partial \varphi}{\partial t} + V \frac{\partial \varphi}{\partial x} \right) \quad (1.2)$$

$$v_x = V + \frac{\partial \varphi}{\partial x}, \quad v_y = \frac{\partial \varphi}{\partial y}, \quad M = \frac{V}{c}$$

где $\varphi(x, y, t)$ — потенциал возмущенных скоростей, p(x, y, t) — данление в жидкости, V—скорость основного потока, c — скорость звука

в жидкости, v_x , v_y — проекции скорости частиц жидкости на оси координат.

Заметим, что к уравнениям (1.2) необходимо добавить граничные условия

$$y - H: \frac{\partial \varphi}{\partial y} - \frac{\partial v}{\partial t} - V \frac{\partial v}{\partial x}$$

$$y = 0: \quad \frac{\partial \varphi}{\partial y} = 0$$
(1.3)

также липеаризованные относительно основного потока.

Уравнения продольных и поперечных колебаний стержия соответствению имеют вид

$$E \frac{\partial^2 v_c}{\partial u^2} = \rho_c \frac{\partial^2 v_c}{\partial t^2} \qquad E \int \frac{\partial^4 u_c}{\partial x^4} - \rho_c S_c \frac{\partial^2 u_c}{\partial t^2} = 0 \tag{1.4}$$

 E_{o_1} р. — модуль Юнга и плотность материала стержня, S — площадь поперечного сечения стержня, J_c — центральный момент площади его поперечного сечения, v_c , u_c — перемещения точек стержня вдоль осей y и x. Граничные условия для (1.4) запишутся в форме

$$y = H + h + l: \quad -Pe^{-l\omega t} = 2aE_c \frac{\partial u_c}{\partial y}, \quad u^{(i)} = 0$$

$$u'_c = Pe\left(E_c / \right)^{-1} \exp\left(-i\omega t\right)$$

$$y = H + h: \quad v_c = -e, \quad u' = 0, \quad u'_c = 0$$
(1.5)

где — $\varepsilon(t)$ — неизвестное перемещение нижнего основания стрежня. Кроме того, при $|x| \leqslant a$ в силу условий контакта стержия со стенкой будем иметь

$$v = v_{\bullet} \tag{1.6}$$

С учетом относительной малости толщины стенки снесем условне (1.1) со средниной плоскости на границу слоя жидкости y = H. Разделяя далее в (1.1) (1.5) временную и пространственные переменные, полагая $f(x, y, t) = f(x, y) e^{-\frac{t}{2}t}$ для всех фулкций, входящих в указанные соотношения, получим, опуская штрихи

$$D^*v^{(4)} - v hw^*v = p(x) - q(x)$$

$$\Delta \varphi + 2kiM \frac{\partial \varphi}{\partial x} + k^2 \varphi = 0, \quad p = -\nu \left(-iw\varphi + V \frac{\partial \varphi}{\partial x} \right)$$

$$= -i\omega\psi + V \frac{\partial \psi}{\partial x}, \quad \frac{\partial \varphi}{\partial y} \Big|_{y=0} = 0, \quad \psi = -\varepsilon, \quad k = \omega c^{-1}$$

$$D^* = D - \int_0^\infty K(\tau) e^{-i\omega\tau} d\tau$$

$$\psi = \frac{1}{\cos(lk_c)} \left[\frac{P}{2aE_c k_c} \sin k_c (H + h - y) - \varepsilon \cos k_c (H + h + l - y) \right]$$

$$u_c = \frac{Pe}{\lambda_c E_c J_c \Delta^*} \left[\cosh i_c (H + h - y) \sin \lambda_c l - \sinh k \cos (H + h - y) \right]$$

$$k_c = \omega \sqrt{E_{c_c}^{p-1}}, \quad \lambda_c = \sqrt{\frac{\rho_c S_c}{E_c J_c}} \omega^2, \quad \Delta^* = \sinh k_c l \cos i_c l + \cosh k_c l \sin i_c l$$

Применяя к (1.7) интегральное преобразование Фурье по координате х и используя условие отсутствия возмущений в жидкости на бесконечности, получим следующее выражение для амплитуды перемещений v при v = H:

$$v(x) = -\frac{1}{2\pi} \int_{-a}^{b} q(z) d\bar{z} \int_{-\infty}^{\infty} \frac{\sinh(zH) - h(zH)}{(D^*x^2 - \rho^*h\omega^2) \, \gamma \, \sinh(\gamma H) - \rho \, (V\alpha + \omega)^2 \, \cosh(\gamma H)}$$

$$\gamma = \gamma \, (2) = (\alpha^2 - 2kM\alpha - k^2)^{1/2} \tag{1.8}$$

Используя теперь условие контакта штампа со стенкой (1.6), получим митегральное уравнение относительно закона распределения контактных давлении q (x). В безразмерных переменных с учетом обозначений

$$\xi' = \xi a$$
 $x' = xa^{-1}$, $A = xa^{-1}$

$$\varphi(x') = q(ax')H^{2}(D^{*})^{-1}, \quad A = \rho^{*}w^{*}hH^{1}(D^{*})^{-1}, \quad B = \rho w^{2}H^{2}(D^{*})^{-1}$$

$$w(x') = v(ax')a^{-1}, \quad \beta = wHV^{-1}, \quad (u) = (u^{2} - 2\beta M^{2}u - \beta^{2}M^{2})^{1/2}$$

оно будет иметь вид (штрихи далее будем опускать)

$$\int_{-1}^{1} \varphi\left(\xi\right) K\left(\frac{x-\xi}{\lambda}\right) d\xi = \pi \varepsilon \quad (|x| \leqslant 1)$$
 (1.9)

$$K(z) = \frac{1}{2} \int_{-\infty}^{\infty} L(u) e^{-iaz} du \quad \left(z = \frac{x - \xi}{\lambda}\right)$$

$$L(u) = \frac{\gamma \sinh \gamma}{(u^4 - A) \gamma \sinh \gamma - B (1 + \beta^{-1} u)^2 \cosh \gamma}$$

Заметим, что $L(\zeta)$ является мероморфной в комплексной плоскости $\zeta = u + iv$ функцией, имеет нули в точках

$$z_n^{\perp} = \rho M^2 + \sqrt{3^2 M^2 (1 + M^2)} - \sqrt{3^2} (n = 0, 1, 2, ...)$$

и полюса, не лежащие на вещественной оси, имеющие асимптотическое представление

$$\xi_n = z_n + O(n) \quad (|\xi_n| \leqslant |\xi_{n+1}|) \quad (n \to \infty)$$

если $A_1 = A\beta M \sin \theta M - B \cos \theta M \neq 0$.

В противном случае функция L(u) будет иметь действительный однократный полюс u=0 при $V\neq 0$. Контур интегрирования во второй формуле (1.9) выбирается в соответствии с принципом предельного поглощения и совпадает всюду с вещественной осью, отклоняясь от нее лишь при обходе полюса u=0 сверху при $BM>BA^{-1}\sqrt{1+AB^{-1}}$ и снизу при обратном неравенстве. Этот случай будет исследован в конце работы. При $V=0,\ u=0$ имеется двукратный полюс. Этот вариант задачи может быть полностью изучен методами работы [4].

К уравнению (1.9) необходимо еще добанить условия статики

$$\int_{-1}^{1} \varphi(x) dx = \frac{H}{aD^* \cos(lk_c)} \left(P - 2a^2 E_c k_c \sin lk_c\right)$$

$$\int_{-1}^{1} x \varphi(x) dx = \frac{P_e H^3}{D^* a^2 \Delta^*} \left(\sinh l + \sin k_c l\right)$$
(1.10)

Отметим также, что по физическому смыслу поставленной задачи булем требовать, чтобы $\omega'(x) \in C$ (— R, R) (R — сколь угодно большое число). Здесь C (— R, R) — пространство непрерывных на интервале (— R, R) функции.

Кроме того, следует заметить, что результаты работы [5, 6] дают основание утверждать, что контактиые усилия, возникающие между штампом и стенкой трубопровода будут складываться из распределенной нагрузки, а также сосредоточенных сил и моментов, действующих на краях линии контакта.

2. Исследуем теперь поставленную задачу с помощью полученного выше интегрального уравнения (1.9). Для этого изучим свойства его ядра и структуру решения. С учетом асимитотического поведения трансформанты Фурье ядра интегрального уравнения (1.9)

$$L(u) = E + O(u) \quad (u \to 0), \quad E = A_0 A_1^{-1}, \quad A_0 = \beta M \sin \beta M, \quad A_1 \neq 0$$

 $L(u) = u^{-1} + O(u^{-1}) \quad (u \to \infty)$

докажем лемму.

 Λ ем ма. При всех значениях 2 из интервала (— R, R), где R — любое, сколь уголно большое число, спранедливо представление

$$K(z) = \frac{z}{12} |z|^3 + F(z), \quad F(z) \in B_5^1(-R, R)$$

$$F(z) =$$
(2.1)

$$= \frac{1}{2} \int_{-\infty}^{\infty} \left[\frac{1 - (uz)^{2}/2}{u^{1}} - \frac{1}{u^{1}} \frac{A\gamma \sinh \gamma + B(1 + \beta^{-1}u)^{2} \cosh \gamma}{(u^{1} - A)\gamma \sinh \gamma - B(1 + \beta^{-1}u)^{2} \cosh \gamma} \right] du$$

R(-R,R)— пространство функций, *n*-е производные которых удонметворяют условию Гельдера на сегменте [-R,R] с показателем $0<\alpha<1$.

Доказательство леммы использует следующие интегралы:

$$\frac{1}{2} \int_{-\infty}^{\infty} \frac{1-e^{-u}}{u} du = \frac{\pi}{2} |z|, \qquad \frac{1}{2} \int_{-\infty}^{\infty} \frac{e^{-i\pi z} - 1 + (uz)^2/2}{u^4} du = \frac{\pi}{12} |z|^3$$

Изучим теперь структуру решения интегрального уравнения (1.9), для чего рассмотрим

$$\int_{-1}^{1} |x - \hat{\epsilon}|^3 \, \varphi(\hat{\epsilon}) \, d\hat{\epsilon} = 12 \, f(x) \quad (|x| \leqslant 1) \tag{2.2}$$

Согласно замечаниям п. 1, решение $\phi(x)$ интегрального уравнения (2.2) должно содержать в виде слагаемых дельта-функции и их первые производные в точках $x=\pm 1$, которые бы отражали появление в контактных усилиях сосредоточенных сил и моментов на краях линии контакта. Вместе с тем, по физическому смыслу рассматриваемой задачи, как отмечалось ранее, $\omega(x) \in C(-R,R)$. Это условие накладывает ограниче-

ние на порядок обобщенной функции $\phi(x)$. С учетом сказанного сформулируем теорему.

Теорема 1. Если $f^{(1)}(x) \in C(-R, R)$, то решение интегрального уравнения (2.2) в пространстве обобщенных функций медленного роста $\Phi[7]$ существует, единственно и имеет вид

$$\varphi(x) = f^{(4)}(x) + P_{1}^{\delta}(x+1) + P_{2}^{\delta}(x-1) + M_{1}\delta'(x+1) + M_{2}\delta'(x+1) + M_{2}\delta'(x-1)$$
(2.3)

причем постоянные P_i , M_i (i=1,2) удовлетноряют соотношениям

$$-f'''(-1) - f'''(1) + P_1 - P_2 = 0$$

$$-f''(-1) + f''(1) - f'(-1) - f'(1) + M_1 + M_2 = 0$$

$$-f'''(-1) + f'''(1) - f''(-1) - f''(1) + P_1 + P_2 + M_1 - M_2 = 0$$

$$f''(-1) + f''(1) + 3f'(-1) - 3f'(1) + 3f(-1) + 3f(1) - M_1 + M_2 = 0$$
(2.4)

Здесь $\delta(x)$, $\delta'(x)$ — дельта-функция Дирака и ее первая произнодная определяемые следующим образом:

$$\int_{x}^{b} g(\xi) \, \delta^{(j)}(\xi - x) \, d\xi = \begin{cases} 0 & (x < a, \ x > b) \\ (-1)^{j} g^{(j)}(x + 0) & (x = a) \\ (-1)^{j} g^{(j)}(x - 0) & (x = b) \\ 1/2 (-1)^{j} [g^{(j)}(x - 0) + g^{(j)}(x + 0)] & (a < x < b) \end{cases}$$

$$(2.5)$$

g(x) — произвольная функция такая, что существуют односторонние приизводные $g^{(x)}(x+0)$ и $g^{(x)}(x-0)$.

Для доказательства теоремы проверим, что функция $\phi(x)$ вида (2.3) удовлетворяет уравнению (2.2). Действительно, подставляя ее в (2.2), используя формулу (2.5), приходим к выводу, что интегральное уравнение (2.2) обращается в тождество, если выполнены условия (2.4). Едиктвенность полученного решения (2.3) следует из теоремы, приведенног в [7] на стр. 158.

Перепишем теперь интегральное уравнение (1.9) с учетом представления (2.1) в виде

$$\int_{-1}^{1} \varphi(\xi) |x - \xi|^{2} d\xi = 12 f(x) \quad (|x| \le 1)$$

$$f(x) = \lambda^{2} \xi - \frac{1}{\pi} \int_{-1}^{1} \varphi(\xi) F\left(\frac{x - \xi}{\lambda}\right) d\xi$$
(2.6)

Предположим, что функция $\varphi(x) \in \Phi$ (с порядком равным единце). Тогда в силу свойсти функции F(z), указанных в лемме, булк иметь $\int_{-\infty}^{4} (x) = C(-R, R)$. Отсюда с учетом теоремы 1 следует

Теорема 2. Если решение интегрального уравнения (2.6) существует в пространстве обобщенных функций медленного роста Ф, то оно имеет вид

$$\varphi(x) = \varphi^*(x) + P_1 \delta(x+1) + P_2 \delta(x-1) + M_1 \delta'(x+1) + M_2 \delta'(x-1)$$
(2.7)

Функция $z^*(x) \in C(-1, 1)$ и удовлетворяет следующему уравнению:

$$\tau^{*}(x) + \frac{1}{\pi \lambda} \int_{-1}^{1} \tau^{*}(\xi) F^{(4)}\left(\frac{x-\xi}{\lambda}\right) d\xi = \\
= -\frac{1}{\pi \lambda} \left[P_{1} F^{(4)}\left(\frac{x+1}{\lambda}\right) + P_{2} F^{(4)}\left(\frac{x-1}{\lambda}\right) + \\
+ \frac{1}{\lambda} M_{1} F^{(5)}\left(\frac{x+1}{\lambda}\right) + \frac{1}{\lambda} M_{2} F^{(5)}\left(\frac{x-1}{\lambda}\right) \right]$$
(2.8)

Постоянные P_j и M_j (j=1,2) даются формулами (2.4).

Для доказательства теоремы, считая функцию I(x) (2.6) временно известной, обратим интегральный оператор в (2.6) с ядром $[x-\xi]^3$. Согласно формуле (2.3) получим относительно $\phi(x)$ следующее интегральное уравнение

$$\varphi(x) + \frac{1}{\pi \lambda} \int \varphi(\xi) F^{(4)} \left(\frac{x - \xi}{\lambda} \right) d\xi =$$

$$= P_1 \delta(x + 1) + P_2 \delta(x - 1) + M_1 \delta'(x + 1) + M_2 \delta'(x - 1)$$
(2.9)

Решение атого уравнения будем искать в виде (2.7). Подставляя (2.7) в (2.9) и используя свойства дельта-функции (2.5), придем к интегральному уравнению (2.8). Отметим, что последнее является уравнением Фредгольма второго рода с непрерывным ядром и непрерывным свободным членом. Если уравнение (2.8) разрешимо при заданном значении параметра $\lambda \in (0, \infty)$, то функция $\varphi^*(\mathbf{x}) \in C(-1, 1)$. При этом также однозначно разрешимо исходное интегральное уравнение (2.6).

Теорема 3. В классе функций $\phi^*(x) \in C(-1, 1) \cap V(-1, 1)$ однородное уравнение (2.8)

$$\varphi^*(x) - \frac{1}{\pi i} \int_{-\pi}^{1} \varphi^*(\xi) T\left(\frac{x-\xi}{\lambda}\right) d\xi = 0 \quad (|x| \le 1)$$
 (2.10)

$$T(z) = \frac{1}{2} \int_{-\infty}^{\infty} \frac{A_{\gamma} \sinh \gamma + B(1 + \beta^{-1}u)^{2} \cosh \gamma}{(u^{4} - A)_{\gamma} \sinh \gamma - B(1 + \beta^{-1}u)^{2} \cosh \gamma} e^{-i\alpha z} du$$
 (2.11)

не имеет положительных собственных значений. Здесь V (— 1, 1) — пространство функций, имеющих на сегменте [— 1, 1] конечное изменение.

Aоказательство. Введем в рассмотрение трансформанту Фурье функции $q^*(x)$

$$\Phi^{+}(u) = \int_{0}^{1} \pi^{+}(\xi) e^{i\pi \xi} d\xi$$
 (2.12)

и с учетом (2.11) перепишем однородное уравнение (2.10) следующим образом:

$$\Phi^{u}(x) = \frac{1}{2\pi} \int_{-\infty}^{\infty} \frac{A - \sinh \gamma^{\circ} + B(1 + \beta^{-1}ur)^{2} \cosh \gamma^{\circ}}{(u^{i_{1}i_{2}} - A)\gamma^{\circ} \sinh \gamma^{\circ} - B(1 + \beta^{-1}ur)^{2} \cosh \gamma^{\circ}} \Phi^{u}(u) e^{-t} du$$

$$|x| \leq 1, \quad \gamma^{\circ} = \gamma(u\lambda)$$
(2.13)

В силу свойств функции q (x), указанных в условии теоремы, представление (2.12) правомерно, функции Ф*(и), по меньшей мере, непрерывна и имеет место оценка [8]

$$\Phi^{\bullet}(u) = O(u^{-1}) \quad (|u| - \cdots) \tag{2.14}$$

Умножим скалярно обе части (2.13) на ф[®](x). С учетом равенства Парсеваля [7] получим

$$\Phi^{*}(u)|^{2} \frac{u^{4}\gamma^{*} \sinh \gamma^{*} du}{(u^{4}\gamma^{*} - A)\gamma^{*} \sinh \gamma^{*} - B(1 + \beta^{-1}u^{k})^{2} \cosh \gamma^{*}} = 0 \quad (2.15)$$

Из формулы (2.14) следует, что интеграл в (2.15) сходится. Разделиц в (2.15) действительную и минмую части, можно показать, что минмая часть ядра не меняет знака на действительной оси, откуда $\Phi^*(u) = 0$ и $\mathfrak{q}^+(x) = 0$. Теорема доказана.

3. Перейдем теперь к построению приближенного решения интегрального уравнения (1.9). Используя идею метода приближенной факторизации [4], аппроксимируем функцию L(\$) выражением

$$L^{*}(z) = \frac{1}{z^{-}(\zeta - z_{n}^{-})(\zeta - z_{n}^{-})} \frac{(\zeta - z_{n}^{-})(\zeta - z_{n}^{-})}{(\zeta - \zeta_{n}^{+})(\zeta - z_{n}^{-})}$$

$$z^{-}(\zeta) = (\zeta - \zeta_{n}^{-})(\zeta - \zeta_{n}^{-})$$
(3.1)

где — четыре полюса (1), имеющих наибольшую по модулю действительную часть.

Подставляя (3.1) во вторую формулу (1.9), получим

$$K^{z}(z) = \frac{1}{2} \begin{cases} \sum_{n=-1}^{N} R_{n}^{+} \exp(-i\zeta_{n}^{+}z) & (z < 0) \\ \sum_{n=-1}^{N} R_{n}^{-} \exp(-i\zeta_{n}^{-}z) & (z > 0) \end{cases}$$
 (3.2)

$$R_n^+ = 2\pi i \operatorname{Res}[L^*(\zeta), \zeta_n^+], \quad R_n = -2\pi i \operatorname{Res}[L^*(\zeta), \zeta_n]$$

С учетом представления (3.2) перепишем интегральное урапнение (1.9) в виде

$$\int_{-1}^{x} \varphi(\xi) \sum_{n=-1}^{N} R_{n}^{-} \exp\left[-i\zeta_{n}^{-}\left(\frac{x-\xi}{\lambda}\right)\right] d\xi +$$

$$+ \int_{y}^{1} \varphi(\xi) \sum_{n=-1}^{N} R_{n}^{+} \exp\left[-i\zeta_{n}^{+}\left(\frac{x-\xi}{\lambda}\right)\right] d\xi = 2\pi\varepsilon \quad (|x| \le 1)$$
(3.3)

н будем искать его решение в соответствии с теоремой 2 и результатами работы [9] в форме

$$\varphi(x) = T_0 + \sum_{n=1}^{N} T_n \exp\left(-iz_n \frac{x}{n}\right) + \sum_{n=1}^{N} T_n \exp\left(-iz_n \frac{x}{n}\right) + P_1 \delta(x+1) + P_2 \delta(x-1) + M_1 \delta'(x+1) + M_2 \delta(x-1)$$
(3.4)

Произвольные постоянные T_κ и коэффициенты P_j , M_T ($j=1,\ 2$) и T_a определяются подстановкой (3.4) в (3.3), а именно

$$T_{0} = 2\pi i s i^{-1} \left\{ \sum_{n=1}^{N} \left[R_{n}^{+} \left(\zeta_{n}^{+} \right)^{-1} - R_{n}^{-} \left(\zeta_{n}^{-} \right)^{-1} \right] \right\}^{-1}$$

$$\sum_{m=1}^{N} \left[T_{m}^{+} \exp \left(-i \frac{z_{m}^{-}}{i} \right) \frac{1}{\zeta_{n}^{+} - z_{m}^{-}} \frac{1}{\sigma^{+} \left(z_{m}^{+} \right)} + T_{m} \exp \left(-i \frac{z_{m}^{-}}{i} \right) \times \right]$$

$$\times \frac{1}{\zeta_{n}^{+} - z_{m}^{-}} \frac{1}{\sigma^{+} \left(z_{m}^{+} \right)} = -T_{0} \left(\zeta_{n}^{+} \zeta_{0}^{+} \zeta_{-1}^{+} \right)^{-1}$$

$$\sum_{m=1}^{N} \left[T_{m}^{+} \exp \left(i \frac{z_{m}^{+}}{i} \right) \frac{1}{\zeta_{n}^{-} - z_{m}^{+}} \frac{1}{\sigma^{-} \left(z_{m}^{+} \right)} + T_{m}^{-} \exp \left(i \frac{z_{m}^{-}}{i} \right) \times \right]$$

$$\times \frac{1}{\zeta_{n}^{-} - z_{m}^{-}} \frac{1}{\sigma^{-} \left(z_{m}^{-} \right)} = -T_{0} \left(\zeta_{n}^{-} \zeta_{0}^{-} \zeta_{-1}^{-} \right)^{-1}$$

$$n = 1, 2, \dots, N$$

$$P_{1} = -i \lambda \left\{ T_{0} \frac{\zeta_{-1}^{-} + \zeta_{0}^{-}}{\zeta_{-1}^{-} \zeta_{0}^{-}} + \sum_{m=1}^{N} \left[T_{m}^{+} \exp \left(i \frac{z_{m}^{+}}{i} \right) \frac{\zeta_{-1}^{-} + \zeta_{0}^{-} - z_{m}^{+}}{\sigma^{-} \left(z_{m}^{+} \right)} + T_{m}^{-} \exp \left(i \frac{z_{m}^{-}}{i} \right) \frac{\zeta_{-1}^{-} + \zeta_{0}^{-} - z_{m}^{-}}{\sigma^{-} \left(z_{m}^{-} \right)} \right\}$$

$$M_{1} = -\lambda^{2} \left\{ T_{0} \frac{1}{\zeta_{-1}^{-} \zeta_{0}^{-}} + \sum_{m=1}^{N} \left[T_{m}^{+} \exp \left(i \frac{z_{m}^{+}}{i} \right) \frac{1}{\sigma^{-} \left(z_{m}^{+} \right)} + T_{m}^{-} \exp \left(i \frac{z_{m}^{-}}{i} \right) \frac{1}{\sigma^{-} \left(z_{m}^{-} \right)} \right] \right\}$$

$$+ T_{m}^{-} \exp \left(i \frac{z_{m}^{-}}{i} \right) \frac{1}{\sigma^{-} \left(z_{m}^{-} \right)} \right]$$

$$P_{3} = i\lambda \left\{ T_{0} \frac{\zeta_{-1}^{+} + \zeta_{0}^{+}}{\zeta_{-1}^{+} \zeta_{0}^{+}} + \sum_{m=1}^{N} \left[T_{m}^{+} \exp\left(-i\frac{z_{m}^{+}}{\lambda}\right) \frac{\zeta_{-1}^{+} + \zeta_{0}^{+} - z_{m}^{+}}{\sigma^{+}(z_{m}^{+})} + \right. \\ + \left. T_{m}^{-} \exp\left(-i\frac{z_{m}^{-}}{\lambda}\right) \frac{\zeta_{-1}^{+} + \zeta_{0}^{+} - z_{m}^{-}}{\sigma^{+}(z_{m}^{-})} \right] \right\}$$

$$M_{2} = i^{2} \left\{ T_{0} \frac{1}{\zeta_{-1}^{+} \zeta_{0}^{+}} + \sum_{m=1}^{N} \left[T_{m}^{+} \exp\left(-i\frac{z_{m}^{+}}{\lambda}\right) \frac{1}{\sigma^{+}(z_{m}^{+})} + \right. \right. \\ \left. + T_{m}^{-} \exp\left(-i\frac{z_{m}^{-}}{\lambda}\right) \frac{1}{\sigma^{+}(z_{m}^{-})} \right] \right\} = 0$$

Введем обозначения

$$t_{2n} = T_n^+ \exp\left(-i\frac{z_n^+}{\lambda}\right) \frac{1}{z^+(z_n^+)(\zeta_n^+ - z_n^+)}$$

$$t_{2n-1} = T_n^- \exp\left(i\frac{z_n^-}{\lambda}\right) \frac{1}{z_n^-(z_n^-)(\zeta_n^- - z_n^-)}$$

$$b_{1n} = -T_0\left(\zeta_n^- \zeta_0^+ \zeta_{-1}^+\right)^{-1}, \quad b_{2n-1} = -T_0\left(\zeta_n^- \zeta_0^- \zeta_{-1}^-\right)^{-1}$$

с учетом которых перепишем систему (3.5) в нормальном виде

$$t_{j} + \sum_{m=1}^{2N} a_{jm} t_{m} = b_{j}, \quad (j = 1, 2, ..., 2N)$$

$$a_{2n, 2n} = a_{2n-1, 2n-1} = 0$$

$$a_{2n, 2m} = \frac{\zeta_{m}^{+} - z_{m}^{+}}{\zeta_{n}^{+} - z_{m}^{+}}, \quad a_{2n-1, 2m-1} = \frac{\zeta_{m}^{-} - z_{m}^{-}}{\zeta_{n}^{-} - z_{m}^{-}} \quad (n + m)$$

$$a_{2n, 2m-1} = \frac{(\zeta_{m}^{-} - z_{m}^{-}) \circ (z_{m}^{-})}{(\zeta_{n}^{-} - z_{m}^{-}) \circ (z_{m}^{-})} \exp\left(-2i\frac{z_{m}^{-}}{\lambda}\right)$$

$$a_{2n-1, 2m} = \frac{(\zeta_{m}^{+} - z_{m}^{+}) \circ (z_{m}^{+})}{(\zeta_{n}^{-} - z_{m}^{+}) \circ (z_{m}^{+})} \exp\left(2i\frac{z_{m}^{+}}{\lambda}\right)$$

(3.7)

Для ковффициентов a_{ij} при достаточно больших l и j имеет место следующая асимптотика, которая следует из поведения нулей и полюсов функции L ($\frac{1}{2}$) при больших номерах:

$$a_{2n, 2m-1}, a_{2n-1, 2m} = O(n^{-1}m^{-1})$$

$$a_{2n, 2m-1}, a_{2n-1, 2m} = O(n^{-1}m^{-1})$$

$$(m, n \to \infty)$$

$$(3.8)$$

Тогда с учетом (3.8) можно утверждать, что решение системы (3.7) при достаточно больших N будет близко к решению аналогичной бесконечной системы ($N=\infty$) по норме пространства $I_{+}[10]$.

Решив линейную алгебранческую систему (3.7), найдем функцию q(x) по формулам (3.4)—(3.6). Заметим, что форма решения интегрального уравнения (1.9)—(3.4) не изменится в случае наличия у функции $L(\zeta)$ кратиых полюсов и примет вид

$$\Phi(x) = T_0 + (T_2 x + T_2) \exp\left(-iz_2 \frac{x}{x}\right) + \sum_{n=1}^{N} \left[T_n \exp\left(-iz_n \frac{x}{x}\right) + T_n \exp\left(-iz_n \frac{x}{x}\right) + P_1 \delta(x+1) + P_2 \delta(x-1) + M_2 \delta'(x+1) + M_2 \delta'(x-1) \right]$$

в случає $z_1^+ = z_2^- = z_2^-$. При этом соответствующим образом изменится вид системы (3.7).

Поведение поверхности вне штампа | х | > 1 описывается функциями

$$w_{0}^{-}(x) = i\lambda \sum_{n=-1}^{N} A_{n}^{-} \exp\left(-i\zeta_{n}^{+} \frac{x+1}{\lambda}\right) \quad (x < -1)$$

$$w_{0}^{+}(x) = -i\lambda \sum_{n=-1}^{N} A_{n}^{+} \exp\left(-i\zeta_{n}^{-} \frac{x-1}{\lambda}\right) \quad (x > 1)$$

$$A_{n}^{+} = R_{n}^{+} \sigma^{\pm} \left(\zeta_{n}^{+}\right) \left\{ T_{0} \left(\zeta_{n}^{+} \zeta_{-1}^{\pm} \zeta_{0}^{\pm}\right)^{-1} + \right.$$

$$+ \sum_{m=1}^{N} \left[T_{m}^{+} \exp\left(\mp i \frac{z_{m}^{+}}{\lambda}\right) \frac{1}{\sigma^{\pm}(z_{m}^{+}) \left(\zeta_{n}^{+} - z_{m}^{+}\right)} + \right.$$

$$+ T_{m}^{-} \exp\left(\mp i \frac{z_{m}^{-}}{\lambda}\right) \frac{1}{\sigma^{\pm}(z_{m}^{-}) \left(\zeta_{n}^{+} - z_{m}^{-}\right)} \right] \right\}$$

Формула (3.9) позволяет выявить характер воли на поверхности пластинки, а также даст возможность рассчитывать их амплитудные значения. В рассмотренном случае от штампа удаляется N воли с быстро (порядка экспоненты) затухающей амплитудой.

Выражения, аналогичные (3.9) с точностью до множителей вида $\operatorname{ch} [\Upsilon(\zeta_n) y]$ могут быть получены и для акустического поля в жидкости. Отметим также, что действительные части ζ_n характеризуют фазовые скорости воли, а мнимые затухание амплитуды воли. Групповые скорости пропорциональны действительной части величины $(d-|dw|)^{-1}$. Выражения энергетических характеристик акустического поля имеют такой же вид, как и в случае, когда в жидкости нет потока [11]. Следует также отметить, что волна с параметром распространения $\zeta_n = 0$ (случай $A_1 = 0$) не переносит энергии.

$$w_1(x) = R_{-1}^+(x + B_0) \exp\left(-i\zeta_0 \frac{x-1}{x-1}\right) + w_0(x) \quad (x < -1) \quad (3.10)$$

$$w_1^+(x) = w_1^-(x) \quad (x > 1)$$

$$B_{0} = i \left[T_{m} \exp \left(i \frac{z_{m}}{L} \right)^{-1} - (\zeta_{0}^{+})^{-2} \right] - \sum_{m=1}^{N} \left[T_{m} \exp \left(i \frac{z_{m}}{L} \right) \frac{z_{m} - (z_{m}) - (z_{m} - z_{m})}{z_{m} - (z_{m}) - (z_{m} - z_{m})} \right] - T_{m} \exp \left(i \frac{z_{m}}{L} \right) \frac{(z_{m}) - (z_{m} - z_{m})}{z_{m} - (z_{m}) - (z_{m} - z_{m})} \right]$$

Исследуем теперь случай A_1 $A\beta M \sin \beta M$ $B\cos \beta M$ 0. Как отмечалось ранее, положим $\zeta_2=0$ при $\beta M < BA^{-1}\sqrt{1+AB^{-1}}$ (либо $\zeta_2=0$ при $\beta M > BA^{-1}\sqrt{1+AB^{-1}}$) и будем искать решение интегрального уравнения (3.3) в виде (3.4) при $T_0=0$. Ддя определения t_1 получим систему (3.7) при $b_1=2^{-1}(R^2,\zeta_{-1}\zeta_0)^{-1}$ и $b_1=0$ ($j\ne 4$). Из (3.9) следует, что при $\zeta_2=0$

$$w_0^{\top}(x) = \pm i \lambda \left[A_2^{\top} + \sum_{n=-1}^{N} A_n^{\top} \exp\left(-i\zeta_n^{\top} \frac{x \pm 1}{\lambda}\right) \right]$$

то есть с течением времени форма поверхности пластинки вне штампа колеблется с незатухающей при удалении от штампа амплитудой.

4. В качестве числового примера приведено решение задачи о колебании под действием единичной силы стального стержия на поверхности слоя льда, покрывающего гидравлическое основание. При этом!

G = 1.1·10°
$$\mu/M^2$$
; p^* = 880 $\kappa i/M^3$, $v = 0.34$, $p = 1000$ $\kappa i/M^3$
c = 1500 $M/ce\kappa$, $h = 0.3$ M , $H = 10$ M , $M = 0.002$
 $K(t = \tau) = E_1 e$ $E_1 = 4.0·10^3$ μ/M^2
 $E_2 = 3.9·10^3$ μ/M^2 , $\tau_0 = 2439.0$ $ce\kappa$, $\tau_0 = 5882.0$ $ce\kappa$

На фиг. 2 изображены зависимости \mathbb{I}_1 и \mathbb{I}_0 от частоты (кривая (1) — $\mathrm{Re}\,\mathbb{I}_1$, (2) — $\mathrm{Im}\,\mathbb{I}_1$, (3) — $\mathrm{Re}\,\mathbb{I}_0$, (4) — $\mathrm{Im}\,\mathbb{I}_0$).2

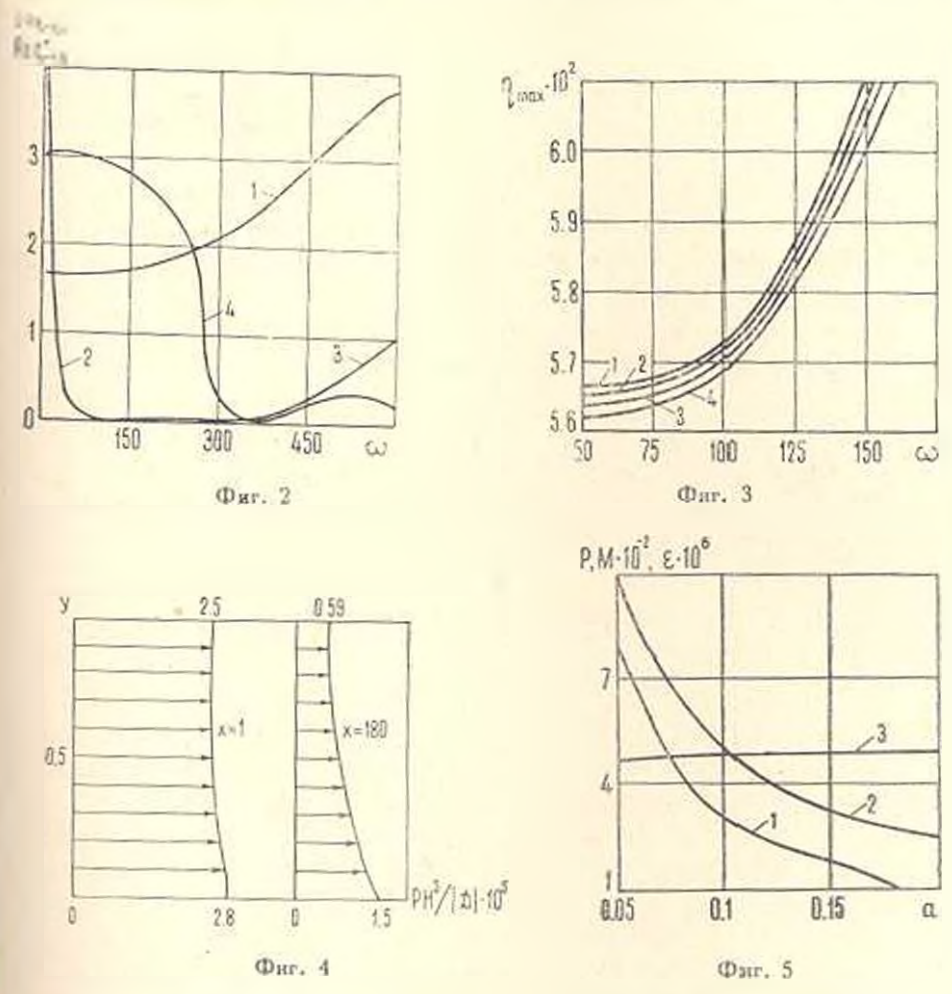
Как следует из оценок, приведенных в п. 1, $\lim_{n\to\infty} \pi$ при $j\to\infty$. Поэтому, почти во всем спектре частот поля виброакустических характеристик вдали от источника колебаний определяются полюсами имеющими наибольшую действительную и наименьшую мнимую часть (за исключением окрестности точек, где $A_1=0$). Заметим, что с увеличением частоты колебаний от 10 гр до 100 гр величина $\lim_{n\to\infty} \zeta_1$, характеризующая затухание волны, уменьшается на два порядка, то есть если двигаться с групповой скоростью данной волны, то ее декремент затухания вз

Эти экспериментальные данные любезно предоставлены апторам В, П. Елифани пым.

⁻ Для полюсов () — 1, 0) имеет место довольно близкая картина (расхождение составляет менее 1% при M < 0.01).

частоте 100 гц будет на два порядка меньше, чем декремент затухания на частоте 10 гц.

На фиг. 3 даны графики изменения максимума амплитуды контактного давления ((1) — λ = 200, (2) — λ = 100, (3) — λ = 66,7, (4) — λ = 50) в зависимости от частоты колебаний стержия. Видно, что при одной и той же частоте максимальное контактное давление будет тем больше, чем меньше λ .



Эпюры амплитуд давлений в жидкости при x=1 и x=180 представлены на фиг. 4. Можно заметить, что если вблизи от источника колебани амплитуда давления незначительно меняется по глубине (около 10%), г при значительном удалении от источника колебаний амплитуда давлени у дна почти в три раза превосходит амплитуду давления у поверхност ($\omega = 100$ гд, a=0.2 м).

На фиг. 5 даны графики при =100 гц изменения $M_1 \cdot 10^-$ кри ная (1), $P_1 = (2)$, $\epsilon \cdot 20^6 = (3)$ в занисимости от a. Отметим также, чт $P \approx P_2$, $M_1 \approx -M_2$ с точностью до $5^{0}/_0$, что обуслонлено малостью M_2

Авторы выражают благодарность В. М. Александрову за внимани к работе.

ՀԻԳՐԱՎԼԻԿ ՀԻՄՔԸ ԾԱԾԿՈՂ ԹԻԹԵՂԻ ՀԵՏ ԿՈՆՏԱԿՏ ՈՒՆԵՑՈՂ ԹՐԹՌԱՑՈՂ ԱՌԱՋԳԱԿԱՆ ՉՈՂԻ ՃԱՌԱԳԱՅԹՄԱՆ ԲՆՈՒԹԱԳՐԻՉՆԵՐԻ ՈՒՍՈՒՄՆԱՍԻՐՈՒՄԸ

Ս. Ի. ԲՈՅԵՎ, Ե. Վ. ԿՈՎԱՆԵՆԿՈ

Udhnynid

Ուսումնասիրվում է իդեալական սնվովող հնղուկի շնրար ծածկող առաձկամածուցիկ Թիթնդից և նրան կոշտ ամրակցված առաձդական ձողից կաղմված սիստեմը, որը դրդովում է ժամանակի ընթացքում պարբերաբար փոփոխվող ուժով։

Ըստ երկայնական կոորդինատի Ֆուրյեի ինտեղրալ ձևափոխության օգնությամբ խնդրի լուծումը բերվել է վերջավոր ինտերվալի վրա ողորկ կորիզով փաթեթի տիպի առաջին սեռի ինտեդրալ Հավասարումից ձողի տակ Ճնշման լայնույթի որոշմանը։

Այդ Հավասարումը առանց սիւալի լուծելի է միայն դանդաղ աճ ունեցող ընդՀանրացված ֆունկցիաների տարածությունում։

THE INVESTIGATION OF THE CHARACTERISTICS OF RADIATION OF A VIBRATING ELASTIC BAR CONTACTED WITH A PLATE COVERING THE HYDRAVLIC FOUNDATION

S. I. BOYEV, E. V. KOVALENKO

Summary

A system is investigated consisting of a viscoelastic plate, covering the layer of ideal compressed liquid and elastic bar, rigidly coupled to the plate and excited by a force periodically changing in time.

By means of the Fourier integral transform, along the longitudinal coordinate, the problem is brought to the definition of the amplitude of pressure under the bar from the integral equation of the first kind of package type at the finite interval with a smooth kernel: correctly solved only in the space of generalized functions of show increase.

Graphs of characteristic vibroacoustic values are constructed.

AHTEPATYPA

- 1. Работнов Ю. Н. Элементы наследственной механики твердых тел. М.: Наука, 1977,
- Taylor K. A transformation of the acoustic equation with implications for windtunnel and low-speed flight tests. Proc. Roy. Soc. A, 1978, vol. 363, n. 1713.
- 3. Работнов Ю. И. Механика деформируемого твердого тела. М.: Наука, 1979.
- Ворович И. И., Бобешко В. А. Динамические смешанные задачи теории упругости для неклассических областей. М.: Наука, 1979.
- 5 Александрог В. М. Некоторые контактные задачи для балок, пластинок и оболочек.— Инж. ж., 1965, т. 5, в. 4.

- 6. Александров В. М., Кооаленко Е. В. Движение штампа по границе упругой полуплоскости с топким усиливающим покрытием. В сб. «Механика сплошной среды». Изд. Ростовского уп-та, 1981.
- 7. Владимиров В. С. Ураннения математической физики М.: Наука, 1976.

8. Бохнер С. Лекции об интегралах Фурье, М.: ФМ, 1962.

9. Забрейко П. П. и др. Интегральные уравнения. М.: Наука, 1968.

- Канторович Л. В., Крылов В. И. Приближенные методы высшего анализа. М.—А... Физматска, 1962.
- 11. Лайтхилл Дж. Волны в жидкостях. М.: Мир. 1981.

Институт проблем механики АН СССР Институт машиноведения АН СССР им. А. А. Благоправова

Поступная и редажцию 19. Х. 1981

ПРОЧНОСТЬ И ДЕФОРМАЦИИ РАЗЛИЧНЫХ ЗОН СЕЧЕНИЯ БЕТОННОГО ЦИЛИНДРА ПРИ СЖАТИИ

КАРАПЕТЯН К. С., КАРАПЕТЯН К. А.

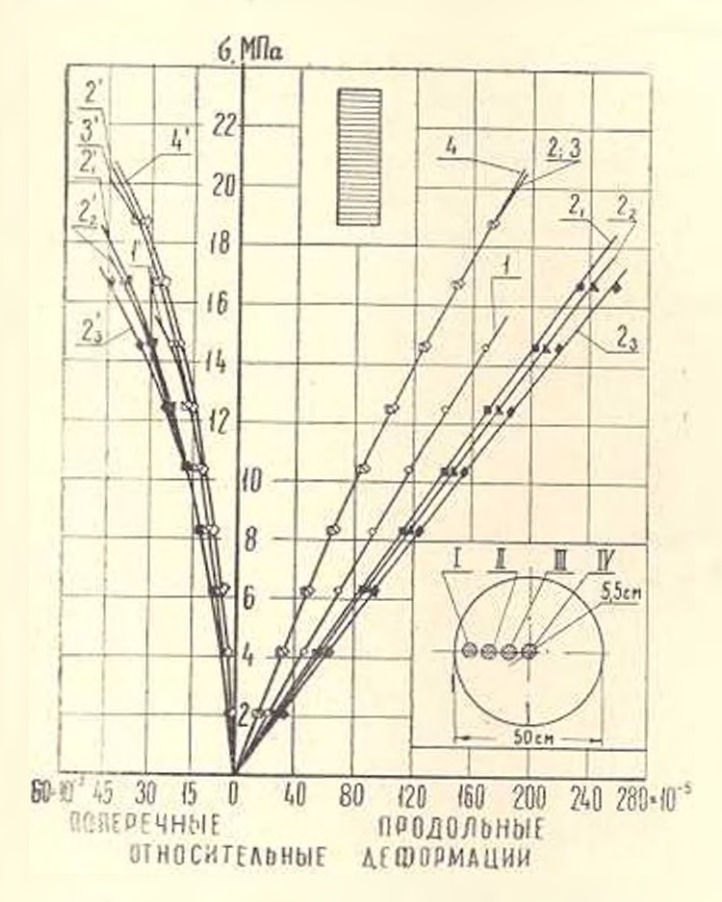
Физико-механические свойства бетона существению зависят от влажности среды и чем ниже влажность, тем меньше прочность и больше деформации. Низкая влажность среды приводит к обезвоживанию бетона и тем самым к приостанавлинацию процесса его твердения. Однако отрицательное влияние испарения на прочность бетона не ограничивается только этим. К. С. Карапетян исследованиями анизотродных свойств бетона установил и другой механизм отрицательного влияния испарения на прочность и деформативность бетона [11]. Как известно, при укладке и уплотиении бетона излишняя вода, отжимаясь наверх, по пути частично задерживается под зернами заполнителя в виде прослоек. Согласно К. С. Карапеткиу, с испарением этих прослоек оставшиеся на их местах пустоты (дефекты) приводят к снижению прочности и уведичению деформаций бетона, а при водонасыщении бетона имеет место обратное явление [8, 11]. Специально поставленные опыты авторов данной статьи еще раз полностью подтвердили это [13]. Отметим, что указанные направленные дефекты являются причиной также неодинаковости своиств бетонов в различиых направлениях и, как показал К. С. Карацетин, их отрицательное влияние зависит от направдения сжимающей и растягивающей нагрузок по отношению к слоям бетопирования и более существенно в том случае, когда образцы испытываются перпендикулярно слоям бетопирования, так как в этом случае ослабление сечения образнов дефектами получается наибольшее 5, 6.

Отрицательное влияние испарения и исчезновения водных прослоск на физико-механические споиства бетона существенно зависит от размеров поперечного сечения бетонного элемента [7, 13]. Если рассматривать приготовленные из одного и того же бетона два цилиндра различных диаметров, то в результате высыхания цилиндр малого диаметра может нысохнуть полностью и поэтому его прочность будет относительно меньше, чем прочность большого цилиндра, гах как сечение последнего высохнет частично. Высыхание наружных слоев большого цилиндра приведет к тому, что прочность бетона в этой части будет значительно меньше, чем в его невысохшей ядровой части. Все сказанное в полной мере относится и к модулю деформации бетона.

Для установления как изменяется прочность бетона от наружных слове и глубь бетонного элемента и количественной оценки роли испарения подных прослоек в снижении прочности и модуля деформации бетона на-

ми по специальной методике были поставлены опыты, результаты которых и приводятся в данной работе.

Испытанию подвергали малые цилиндрические образцы диаметром 5,5 см, высотой 18 см, которые выбуривали из большого цилиндра (d=50 см. n=140 см.). Большой цилиндр был изготовлен К. С. Карапетяном в 1954 г. из туфобетона состава 1:1, 80:2,25, B/IJ=1,43, IJ=261 кг/м³. После изготовления первые 3 года большой цилиндр хра-



Φar. I.

нился в помещении лаборатории во влажных условиях, а далее до момента выбуривания из него в возрасте 23 лет малых цилиндрических образцов— под открытым небом.

Для установления закономерности изменения прочности и модуля деформации бетона по понеречному сечению большого цилиндра в радиальных направлениях с наружных слоев до оси малые цилиндрические образцы выбуривали из 4-х эон (1, 11, 111 и 1V). При этом ось малого цилиндра, выбуренного из зон IV, совпадала с осью большого цилиндра (фиг. 1). Образцы из указанных зон испытывади сразу после их выбуривания. Кроме этого, для исследования влияния испарения водных прослоек на прочность и деформации бетона при сжатии некоторое количество образцов, выбуренных из зоны 11, было испытано после разных сроков высыхания (4, 8 и 12 месяцев) в обычных лабораторных условиях.

Испытание образцов производилось однократным ступенчатым повышеннем сжимающей нагрузки с выдержкой под каждой ступенью лишь на время, необходимое для взятия отсчетов по микропным индикаторам, которыми измерялись продольные и поперечные деформации. Ввиду ограниченного количества образцов в каждом случае испытывались по 2—3 образца. В опытах с образцами, пыбуренными из зон I, II, III и IV максимальный разброс прочности при испытании 2-х образцов составил $\pm 0.4\%$, а 3-х образцов — 1-0.8 и = 0.4%. В опытах же с высыхающими образцами, выбуренными из зоны 11, максимальный разброс по прочности при испытании 2-х образцов состаяна \pm 0.4%, а при испытании 3-х образцов -7,3 и -4,6%. Прочности, касательные модули деформации и коэффициенты Пуассона всех испытанных образцов по данным атих опытов приведены в табл. 1 и 2, а кривые деформации - на фиг. 1, Причем, модули деформации и коэффициенты Пуассона приведены при раздичных напряжениях для того, чтобы показать четко их изменение в зависимости от величины напряжения. Отметим также, что в табл. 1 и 2 над чертами указаны абсолютные значения рассматриваемых характеристик, а под чертами они выражены в процентах. При этом, в табл. 1 за 100% приняты значения характеристик зоны 1, а в табл. 2 — значения характеристик тех образцов, которые были выбурены из зоны 11 и испытаны сразу без предваоительного нысыхания.

Таблица 1
Характеристики бетона по данным испытанив образцов,
выбуренных из различных дон цилиндра

Зогы в гоу ривани образцов	Obewhan Ma ca (e- To a B Nr k ³	I I I I I I I I I I I I I I I I I I I	Mila	XIU		ницав эжкапа	Ковфрициент П при напряжении (МПа)				
£ 26	CACT	Undur Ma	0	5	10	15	20	5	10	15	20
1	1628	19.1	93	88	84 76	79		n.068	0.092 70	95	_
11	1683	24.1 93	142	124 98	108	92	78 76	0.136 115	0,152	0.174 112	$\frac{0.210}{109}$
111	1683 100	24.9 96	143	125	109	93	79	0.150	0.162 123	0.179	0.204 106
IV	1683	25.8 100	143	126 100	110	95	100	0.118	0.132	0.155 100	0.193

По данным табл. 1 в результате высыхания объемная масса зоны 1 на 3.3% меньше, чем объемная масса остальных зон, а прочность безона в зоне 1 оказалась на 26% ниже прочности бетона в зоне IV. Некоторог

незначительное, но закономерное снижение прочности бетона наблюдается и в зонах II и III. Качественно аналогичная закономерность имеет место и с изменением модуля деформации бетона по глубине цилиндра с той лишь разницей, что отрицательное влияние высыхания на модуль деформации бетона в зоне 1 оказалось более существенным и зависит от величины сжимающего напряжения — при изменении напряжения от 0 до 15 МПа спад модуля деформации составляет 35—17%. Кроме этого, при одном и том же напряжении модуль деформации образцов, выбуренных из зон II, III и IV практически одинаков.

Таблица 2 Характеристиян бегона по данным образции, выбуренных из зачы II цилиндря, испытанных после различных сроков высыхания

0 1683 24.1 142 124 108 92 78 0.136 0.152 0.174 0.2 100 10	MOUTH BICHTS	Ofbernan Macca Gezona m xr w ³	илидриче- сав проч-		10 10 4		мация	Конффиционт Пунссона при мапримения (МПа)				
4 100	E S S S S S S S S S S S S S S S S S S S	0 #	Luc	0	5	10	15	20	5	10	15	20/
12 1377 1770 07 07 00 07	4	100 1547 92 1530	100 23.4 97 21.9 91 19.8	100 77 54 72	100 74 60 70	100 72 67 69	100 69 75 67	100 67 86 66 85	100 0.100 74 0.093	109 0.120 79 0.114 75	100 0.150 86 0.148 85	100 0.204 97 0.214 102

Высыхание зоны 1 оказало существенное влияние и на коаффициент Пуассона (табл. 1). Как видим, при невысоких напряжениях коэффициент Пуассона образцов, выбуренных из зоны 1, заметно меньше, чем образцов, выбуренных из остальных трех зон, однако с увеличением напряжения ата разница практически стирается.

Таким образом, высыхание наружного слоя большого бетонного цилиндра привело к существенному синжению его прочности, модуля деформации и ковффициента Пулосона, что могло явиться следствием следующих причин.

- 1. Обезноживание наружных слоен бетонного цилиндра и в свизи с атим прежденременное прекращение процесса твердения;
- 2. Микротрещинообразование из-за внутренних напряжений, пызванных неравномерной усадкой сечения большого цилнидра. По мере высыхания наружного слоя, усадка которого гораздо больше, чем более глубоких слоев, микротрещинообразование постепенио охватывает более глубокие слоя. Чем меньше влажность среды, тем больше глубина высыхания, а следовательно, и степень разуплотиения бетона микротрещинами;

3. Испарение образовавшихся под зернами заполнителя водных прослоек и в связи с атим отрицательное влияние оставшихся на их местах пустот (дефектов).

Отрицательное влияние перечисленных факторов на прочность и модуль деформации бетона при его высыхании в большинстве случаев происходиг одновременно и поэтому для количественной оценки влияния интересующего нас фактора опыты необходимо было поставить по такой методике, которая позволила бы по возможности исключить влияние остальных факторов. Как будет показано ниже, проведенные нами исследования над весьма старым бетоном позволяют количественно оценить снижение прочности и модуля деформации бетона, вызванное отрицательным влиянием испарения водных прослоек.

Из анализа паших опытных данных следует, что, поскольку большой бетонный цилиндр, из которого были выбурены малые цилиндры, первые 3 года после изготовления хранился во влажных условиях, то в течение атого времени он нормально твердел и приобред максимально возможную прочность. Учитывая это, нужно утверждать, что в данном случае недобор прочности из-за нарушения процесса нормального твердения не имел места. Из-за высокой влажности среды за это время снижение прочности и модуля деформации не могло произойти и за счет остальных двух факторов: перавномерной усадки, а также испарения водных прослоек.

Таким образом, наблюдаемое в наших опытах снижение прочности и модуля деформации бетона зоны 1 большого бетонного цидиндра, в основном, произошло в течение последующих 20 лет, когда этот бетонный цилиндр находился под открытым небом. За эти 20 дет вызванное климатическими условиями попеременное уплажнение и высыхание, несомненно. привели к многократному набуханию и усадке бетона наружного слоя и тем самым к его разуплотнению. Об этом свидетельствует то, что большинство мадых цилиндров, которые были выбурены из зоны 1, оказались пепригодными для испытаний. Однако, это еще не является достаточным основанием, чтобы правильно судить, что яялялось основной причиной синжения прочности и модуля деформации бетона в зоне 1, вызванное неранномерным пабуханием и усадкой, микротрешинообразование или испарение водных прослоск. Чтобы сделать по данному вопросу правильное заключение, нами были поставлены специальные опыты с высыхающими обранцами, выбуренными из воны 11 в поэрасте 23 лет и испытанными через 4, 8 и 12 мес. пысыхания в обычных дабораторных условиях (табл. 2).

Как видно из табл. 2, высыхание образцов, выбуренных из зоны 11, привело к устойчивому снижению их прочности, модуля деформации и коэффициента Пуассона. В результате 12-месячного высыхания прочность уменьшилась на 18%, а модуль деформации в записимости от напряжения — на 51—30%. При этом, спад модуля деформации тем больше, чем ниже сжимающее напряжение. Такая же закономерность имеет место и со снижением коэффициента Пуассона — увеличение напряжения от 5 до 15 МПа привело к снижению этого коэффициента на 35,3—9,2%. Из данных табл. 2 также следует, что основная часть снижения модуля деформа-

ции и коэффициента Пуассона произошла за первые 4 мес. высыхания. Из фиг. 1 ясно видно как незначительна расходимость кривых как поперечных, так и продольных деформации образцов, которые высыхали 4. 8 л 12 месяцеп.

Таким образом, существенное синжение прочности, модуля деформации и ковффициента Пуассона за короткое время высыхания свидетельствует о том, что основной причиной всего этого является отрицательное влияние тех пустот (дефектов), которые остаются на местах водных прослоск после их испарения.

По данным таба. 1 после 20-летнего нахождения большого цилиндра под открытым небом прочность бетона воны 1 по сравнению с прочностью бетона и зоне 11 синанавсь на 20,8%, а соответствующее снижение модуля леформации (при о = 10 МПа) составило 22,3%. Между тем, по данным таба. 2 после 12-месячного высыхания образуов, выбуренных из зоны 11 снижение прочности достигло 18%, а модуль деформации при том же напряжения — 39%. Эти данные показывают, что снижение прочностей в обонх этих случаях практически одинаково, а синжение модуля деформации в периом случае ликчительно меньше. Укаланные данные ких будто протиноречат друг другу, так как хазалось, что снижение прочности и модуля деформации бетона в зоне 1 большого цилиндра должно было подучиться гораздо больше, чем тех образцов, которые были выбурены из асны 11 и испытаны после 12-месячного высыхания. Однако, эдесь никаких противоречин нет, так как все это зависит от условий опытов. При длительном хранении образцов под открытым небом, а и наших опытах это продолжалось 20 лет, весьма важным является время года, когда из большого цилиндра были выбурены и испытаны образцы. Если это сделано в летний период и благодаря невысокой влажности водные прослойки успели уже испарилься, то снижение прочности и модуля деформации будег максимальным, а если это сделано весной или осенью, то есть при пысокон влажности среды, и водные прослойки сохранились или испарились частично, то это синжение будет незначительным. Конкретно в вышсописанных наших опытах образцы были выбурены из большого цилиндра осенью, и именно поэтому объемная масса бетона в зоне 1 (1628 кг/м³) мало отличается от объемной массы зоны II. (1683 кг/м3). Между тем. объемная масса образцов, взятых из доны 11 после 12-месячного высыхалия с 1683 кг м3 синанлась до 1519 кг/м³. Тот факт, что объемная масса доны по пышеуказанной причине оказалась незначительно ниже объемной массы зоны 11 до высыхания, а прочность и модуль деформации существенно синанансь, позволяет сделать весьма важный вывод - снижение прочности и особенно модуля деформации, вызванное испарением водных прослоск, существенно и тогда, когда имеет место их частичное исперение. Объясняется ато тем, что если водиме прослойки частично испаримеь, то уже они не могут в полной мере способствовать восприятию и распределению нагружки и улучшению напряженного состояния скелета бетона.

Таким образом, испарение подных прослоек принодит к прочиостной и деформиционной неоднородности бетона, а следовательно, и к неоднородному напряженному состоянию сечений элементов железобетонных конструкций в процессе их эксплуатации. Следует отметить, что сразу после изготовления бетонного элемента, пока испарение водных прослоем не началось, то бетон однороден, а в дальнейшем в зависимости от влажности среды и размеров поперечного сечения элемента бетон может остаться однородным, стать неоднородным и, наконец, стать сперва неоднородным, а в дальнейшем вновь однородным. Для ясности более подробно остановимся на трех указанных случаях.

- 1. Бетонный элемент сначала однороден и остается таким в дальнейшем. Сказанное имеет место в том случае, когда влажность среды высокая и поэтому испарение водных прослоек не имеет места. То же самое имеет место и тогда, когда испарение из элемента исключено путем изоляции наружной поверхности. В обоих атих случаях влияние масштабного фактора на однородность бетона отпадает.
- 2. Бетонный элемент сначала однороден, а в дальнейшем по мере высыхания и испарения водных прослоек становится неоднородным. Сказанное имеет место в том случае, когда размеры поперечного сечения элемента большие, влажность среды невысокая и поэтому испарение водных прослоек происходит частично, то есть из части сечения.
- 3. Бетонный элемент спачала однороден, а в дальнейшем по мере высыхания сперва становится неоднородным и и итоге вновь однородным, Сказанное имеет место в том случае, когда размеры поперечного сечения элемента небольшие, влажность среды невысокая и по этой причине испарение постепенно охватывает все сечение.

По данным табл. 1 прочность бетона в зоне 1 большого бетонного цилиндра составляет 19,1 МПа, а усредненная прочность бетона остальных трех зон, прочности которых друг от друга отличаются весьма незначительно, составляет 24,9 МПа, то есть прочность бетона в ядровой части цилиндра на 30% выше, чем прочность бетона в наружном слое (зона 1). Если учесть, что толщина наружного слоя в радиальном направлении составляла 9 см. то ее площадь составляет 59% от общей площали цилиндра по усредненной прочности ядровой части составляет 488 т, а с учетом пониженной прочности наружного слоя — 411 т, то есть из-за испарения водных прослоек в пределах зоны 1 несущая способность такого элемента спизилась на 16%. Вполне понятно, что при цилиндре меньшего диаметра несущая способность уменьшилась бы еще больше и в пределе для цилиндра диаметром 18 см (учитывая испарение водных прослоек по всему сечению) уже составила бы 23%.

Исходя из современных представлений о механизме ползучести бетона, вполне понятно, что ползучесть бетона в наружном слое бетонного цилиндра будет намного больше, чем в ядровой части. Она будет больше, и потому, что снижение прочности и модули деформации в процессе испарания водных прослоек приведет к накоплению упругих деформаций по мере спада модуля деформации. Если такой бетонный цилиндр загрузить длительной сжимающей нагрузкой, то в момент загружения упруго-мено-

венная деформация по всему сечению будет одна и та же, а напряжение в более жесткой ядровой части окажется гораздо больше, чем в более поитлипом наружном слое. После атого, благодаря большей ползучести варужного слоя, начнется перераспределение напряжений во времени и в везультате этого напряжение в ядровой части существенно возрастет, а в варужном слое, наоборот, уменьшится. Продолжение процесса перераспределения напряжений в конечном итоге прияедет к тому, что наступит, павонец, такой момент, когда напряжение от непосредственного действия вертикальной нагрузки и наружном слое может исчезнуть и в последующем атот слой будет нести нагрузку лишь постольку, поскольку он является частью общего элемента, имеющего прочный контакт с ядровой частью. С указанного момента наружный слой, в основном, будет пграть роль обоймы и запичного слоя ядровой части, исключающего испарение подных прослоек, а следовательно, и синжение прочности и можуля деформации бетона втои части. При наличии арматуры напряженио-деформированное состояние такого элемента еще более сложно. В этом случае, благодаря неоднородной ползучести по сечению, перераспределение напряжений припедет к уведичению напряжения в арматуре и, наоборот, к уменьшению напряження в бетоне, причем более чувствительно в наружном слос, чем я лдровой части.

Тахим образом, мы рассмотрели влияние неоднородности бетона из напряженно-деформированное состояние бетонного и железобетонного влемента при сжатии. Однако, вполие понятно, что влияние неоднородности бетона отрицательно сказывается на работе влементов и при других напряженных состояниях.

Установленный нами тот факт, что прочность наружных слоев большего цилиндра существенно меньше, чем прочность его ядровой части, указывает на необходимость учета этого фактора при проектировании бетонных и железобетонных конструкции. Для этого необходимо в СН и П предусмотреть специальный коэффициент условий работы, который должен быть установлен в зависимости от размеров поперечного сечения элементов конструкций, влажности среды и положения элементов конструкций при бетонировании.

Указанный факт заставляет обратить внимание еще на один важный вопрос. Как известно, существуют стандартные неразрушающие методы определения прочности бетона на сжатие в конструкциях приборами методи определения путем определения косвенных характеристик прочности бетона — величины отскоха, размера отпечатка, усилия скалывания ребра конструкции, условного напряжения при отрыве. При атом все ат и дарактеристики определяются на поверхности элементов конструкций. Учитывая результаты наших опытов, приходим к яыводу, что полученную гахими методами прочность бетона можно отнести ко всему сечению элемента конструкции независимо от размеров их сечений тогда, когда влажность среды высокая, и еще тогда, когда размеры сечения элемента и невысокой влажность среды втого делать нельзя, так как прочность его и невысокой влажность среды втого делать нельзя, так как прочность его

наружных слоев существенно меньше, чем прочность ядровой части. Для учета повышенной прочности ядровой части, площадь которой может оказаться существенной частью общей площади сечения элемента конструкции, необходимо ввести слециальный поправочный коэффициент.

Результаты вышеописанных опытов и прежние исследования авторов [5-13] приводят к выводу, что, если влажность среды непысокая, то отрицательное влияние испарения и исчезновение водных прослоек, которые проявляются с Самого начала изготовления бетонного элемента, накладывается на положительный эффект, вызванный процессом твордения бетона. Поэтому обычно определяемая кривая нарастания прочности бетона во времени не является только следствием продолжительного эффекта процесса твердения. Так как испарение водных прослоек приводит к потере существенной доли прочности бетона и увеличению его деформативности, необходимо в зависимости от характеристик материалов, применяемых для приготовления бетона, условий производства работ и условий работы бетонных и железобетонных конструкций принять все меры, чтобы уменьшить, а если возможно, полностью исключить отринательное влииине этого явления. Мы уже отмечали, что и анизотропия бетона обусловлена указанными водными прослойками и, как показали многочисленные опыты [5-13], все те факторы, которые приводят к уменьшению кодичества и размеров водных прослоск, а следовательно, и оставшихся на их местах после испарения пустот (дефектов), тем самым уменьшают степень анизотропин по прочности и деформациям. Поэтому эти исследования явдяются направляющими для уменьшения потери доли прочности, вызванной испарением водных прослоек.

Как уже было показано, в большинстве случаев бетонные элементы являются неоднородно наследственно-стареющими телами, свойства которых изменяются во времени я зависимости от координат. Теория ползучести для однородно-стареющих сред разработана Н. Х. Арутюняном [1—4].

Основные выволы

- 1. Испарение водных прословк, которые образуются под зернами заполнителя вследствие отжатия излишней поды наверх при укладке и уплотнении бетона, оказывает отрицательное влияние на физико-механические свойства бетона при сжатии. Спад прочности и модуля деформации бетона, в основном, является следствием тех пустот (дефектов), которые остаются на местах водных прословк по мере их испарения.
- 2. Вызванное испарением водпых прослоек снижение прочности и модуля деформации бетона существенно зависит от влажности среды и масштабного фактора. С уведичением влажности среды и размеров поперечного сечения бетонного элемента отрицательное влияние испарения уменьшается, а в водной среде, независимо от масштабного фактора, исключается.
- 3. В результате испарения водных прослоек прочность наружных слоев бетонного элемента может оказаться существенно меньше, а деформации больше, чем его ядровой части. С увеличением влажности среды ата разница уменьшается, а с увеличением размеров поперечного сечения бетонного элемента возрастает.

- 4. Испарение водных прослоек из наружных слоев бетонного элемента приводит к его прочностной и деформационной неоднородности по сечению и тем самым к неоднородному напряженному состоянию элементов железобетонных конструкций.
- 5. С момента изготовления бетонного элемента на положительный процесс его упрочнения накладывается отрицательное влияние тех пусто (дефектов), которые остаются на местах водных прослоек по мере их испарения. Потеря доли прочности бетона и увеличение деформативности, вызванное этим отрицательным явлением, зависят от различных факторов и во многих случаях могут оказаться весьма значительными. Учитывая это, необходимо в зависимости от характеристик материалов, применяемых для приготовления бетона, условий производства работ и условий работы бетоных и железобетонных конструкций принять все необходимые меры, чтобы уменьшить, а если возможно, полностью исключить образование в бетоне водных прослоек. Все те факторы, которые уменьшают количестно и размеры водных прослоек, а следовательно, и пустот (дефектов), тем самым уменьшают потерю доли прочности и деформации бетона.
- 6. Для учета отрицательного влияния испарения водных прослоек на прочность и модуль деформации бетона необходимо в СН и П предусмотреть специальный коэффициент условий работы, который, хотя бы на первых порах, должен быть установлен в зависимости от влажности среды, размеров поперечного сечения элемента конструкции и его положения при бетонировании.
- 7. Поскольку в результате испарения водных прослоек прочность наружных слоев бетонного элемента может оказаться существенно меньше,
 в деформации больше, чем его ядровой части, существующие неразрушающие методы оценки прочности бетона путем определения косвенных показателей на поверхности для элементов конструкций большого сечения неприемлемы. Этими методами невозможно также оценить прочность бетона в конструкциях в зависимости от направления сжимающей нагрузки по
 отношению к слоям бетонирования. Для учета повышенной прочности ядровой части бетонного элемента, а также его положения при бетонировании необходимо установить специальные поправочные коэффициенты.

ՔԵՏՈՆԵ ԿԼԱՆԻ ՀԱՏՈՒՅԹԻ ՏԱՔԲԵՔ ԳՈՏԻՆԵՐԻ ԱՄԲՈՒԹՅՈՒՆՆ ՈՒ ԳԵՖՈՐՄԱՑԻԱՆԵՐԸ ՍԵՂՄՄԱՆ ԳԵՊՔՈՒՄ

4. Ս. ԿԱՐԱՊԵՏՅԱՆ, Կ. Ա. ԿԱՐԱՊԵՏՏԱՆ

Udhayaai

Աշխատանքում բերվում են շատ ձեր գլանաձև բետոնե էլեմենտի հատույիի տարբեր մասերի ամրության և դեֆորմացիաների մեծությունների ուսումնասիրության փորձարարական արդյունջները սեղմման դեպթում։

Հաստատված է, որ մեծ ընտոնե դլանի արտաքին շերտերի ամրությունը և դեխորմացիաների մոդուլը էապես փոքր են նրա միջուկի ամրությունից և դեփորժացիաների մողուլից։ Բետոնի անհամասեռությունն ըստ ամրության և դեփորմացիաների մողուլի բացաարվում է նրա տեղադրման և խտացման ժամանակ էլեմենաի արտաբին մասում լցոնի հատիկների տակ հավարված ւրային չերտերից չրի դոլորշացման բացասական ապսեցությամբ Բետոնե ելեմենտի միջուկի բարձր ամրությունն ու դնկորմացիաների մողուլը հաշվի առնելու համար տոաջարկվում է ՇՆ և Կ (CH к П)-ում նախատեսնել աշխատանքի պայմաններն հաշվի առնող հատուկ դործակից, ինչպես նաև դուրություն ունեցող կառուցվածըները չթալթայող ձևերով բետոնի ամրության դնահաման մեքողներով մացնել համապատասխան ուղղման դործակիցներ։

STRENGTH AND DEFORMATION OF DIFFERENT SECTION ZONES OF A CONCRETE CYLINDER UPON COMPRESSION

K. S. KARAPETIAN, K. A. KARAPETIAN

Summary

The paper deals with the results of experimental investigations of strength and deformation of different section zones of a very old concrete cylinder upon compression.

It has been established that the strength and modulus of deformation of the external cylinder layer are considerably less than the strength and modulus of deformation of its kernel.

AHTEPATYPA

- 1. Аругюнян $H_i(X)$. О теории польучести для неоднородных имследственно-стареющих сред.— Докл. АН СССР, 1976, т. 229, № 3.
- Ардгюнан Н. Х. Пекоторые задачи теории ползучести для неоднородно-стареноцика.
 Изп. АН СССР, МТГ, 1976, № 3.
- 3. Аругюлян Н. X. Красвая задача георин поллучести для наращивнемого теля.— ПММ, 1977, т. 11, № 5.
- 4. Арутюляч Н. Х. Теория полаучести исоднородно-старсющих тел. М.: Изд. Института проблем механики АН СССР, 198 і.
- 5. Карапетин К. С. Об одном существенном факторе в прочностных и деформативных своиствах бетона.— Дока. АН Арм.ССР, 1957, т. 24, № 4.
- Карапетян К. С. Ваняние зинастроным на полоучесть бетона. Изв. АН Арм.ССГ, сер. физ.-маг. наук, 1957, т. 10, № 6.
- 7. Карапетян К. С. Влияние внизотронии на ползучесть бетоля при сжатии и растижении в зависимости от масштабного рактора.— Изп. АН Арм ССР, сер. физ.мат. наук. 1964, т. 17, № 4.
- 8. Карапетян К. С. Влияние анизотронни на нолиместь бетона и зависимости оз навжности среды.— Иля. АН Арм.ССР, сер. фил.-мат. наук, 1965, т. 18, № 2.
- Карапетян К. Влияни анизотронии на прочность и полаучесть бетона и зависимости от расхода цемента.— Нап. АН Арм.ССР, сер. физ.-мат. наук, 1965, т. 18, № 5.
- 10. Карапетян К. С. Наняние анизотродни на ползучесть бетона в записимости от полраста бетона в моменту загружения.— Дока. АН Арм.ССР, 1965, т. 41. № 5.
- 11. Карапетян № С. О вторичном твердении и изменении анизотронных свойств бетона при его водонасыщении.— Докл. АН Арм.ССР, 1973, т. 57, № 3.

- 12. Карапетян К. С., Котикян Р. А. Карапетян К. А. Неследование аниаотронии прочности и модуля деформации вссьма старого бетона. Третии национальный кон гресс по теоретической и прикладной механикс. Болгария, Вариа: Доклады, книга 1, 1977.
- Карапетян К. С., Карапетян К. А. Исследование наменения прочности, модуля деформации и степени анивотропии весьма старого туфобетова при сжатии вслед ствие водонасыщения и высыхвния.— Изв. АН Арм.ССР, сер. Механика, 1981, т. 34, № 4.

Институт механики АН Армянской ССР Поступила и редакцию 3. XII, 1981